

# Hladnjak ulja za transformator

---

Čataj, Roman

**Undergraduate thesis / Završni rad**

**2016**

Degree Grantor / Ustanova koja je dodijelila akademski / stručni stupanj: **University of Zagreb, Faculty of Mechanical Engineering and Naval Architecture / Sveučilište u Zagrebu, Fakultet strojarstva i brodogradnje**

Permanent link / Trajna poveznica: <https://urn.nsk.hr/urn:nbn:hr:235:991745>

Rights / Prava: [In copyright/Zaštićeno autorskim pravom.](#)

Download date / Datum preuzimanja: **2025-01-28**

Repository / Repozitorij:

[Repository of Faculty of Mechanical Engineering and Naval Architecture University of Zagreb](#)



SVEUČILIŠTE U ZAGREBU  
FAKULTET STROJARSTVA I BRODOGRADNJE

# ZAVRŠNI RAD

Roman Čataj

Zagreb, 2016.

SVEUČILIŠTE U ZAGREBU  
FAKULTET STROJARSTVA I BRODOGRADNJE

# ZAVRŠNI RAD

Voditelj rada:

Prof. dr. sc. Srećko Švaić, dipl. ing.

Student:

Roman Čataj

Zagreb, 2016.

Izjavljujem da sam ovaj rad izradio samostalno koristeći stečena znanja tijekom studija i navedenu literaturu.

Zahvaljujem se svom mentoru prof. dr. sc. Srećku Švaiću, dipl. ing. na podršci, razumijevanju i savjetima tijekom izrade Završnog rada.

Zahvaljujem se kolegi Alanu Rodiću, mag. ing., na pomoći sa literaturom i normama.

Roman Čataj



SVEUČILIŠTE U ZAGREBU  
FAKULTET STROJARSTVA I BRODOGRADNJE



Središnje povjerenstvo za završne i diplomske ispite  
Povjerenstvo za završne ispite studija strojarstva za smjerove:  
procesno-energetski, konstrukcijski, brodostrojarski i inženjersko modeliranje i računalne simulacije

Sveučilište u Zagrebu Fakultet strojarstva i brodogradnje	
Datum	Prilog
Klasa:	
Ur.broj:	

## ZAVRŠNI ZADATAK

Student:

Roman ČATAJ

Mat. br.: 0035198809

Naslov rada na hrvatskom jeziku:

**HLADNJAK ULJA ZA TRANSFORMATOR**

Naslov rada na engleskom jeziku:

**OIL COOLER FOR TRANSFORMER**

Opis zadatka:

Potrebno je konstruirati hladnjak ulja za transformator s otrebrenim cijevima. Ulje se hlađi zrakom. Parametri za konstrukciju hladnjaka su;

Snaga: 150 kW

Ulazna temperatura ulja: 85°C

Izlazna temperatura ulja: 78°C

Srednja spec. gustoća ulja: 0,83 kg/L

Srednja spec. toplina ulja: 2.198 kJ/kgK

Ulazna temperatura zraka: 40°C

Izlazna temperatura zraka: 65°C

Srednja spec. gustoća zraka: 1,09 kg/L

Srednja spec. toplina zraka: 1.017 kJ/kgK

Tlak ulja: 2,5 bar pretlaka

Potrebno je:

1. Izraditi toplinski proračun hladnjaka i odrediti njegove dimenzije
2. Odrediti vrstu i klasu aparata pod tlakom
3. Izraditi proračun čvrstoće i izabrati materijal gradnje
4. Izračunati pad tlaka na strani ulja i zraka
5. Izraditi sklopni crtež hladnjaka ulja
6. Dati tehnički opis hladnjaka ulja

U radu navesti korištenu literaturu i eventualnu pomoć

Zadatak zadan:

25. studenog 2015.

Rok predaje rada:

1. rok: 25. veljače 2016

2. rok (izvanredni): 20. lipnja 2016.

3. rok: 17. rujna 2016.

Predviđeni datumi obrane:

1. rok: 29.2., 02. i 03.03. 2016.

2. rok (izvanredni): 30. 06. 2016.

3. rok: 19., 20. i 21. 09. 2016.

Zadatak zadao:

Prof.dr.sc. Srećko Švaić

Predsjednik Povjerenstva:

Prof. dr. sc. Igor Balen

## SADRŽAJ

SADRŽAJ .....	I
POPIS SLIKA .....	III
POPIS TABLICA.....	IV
POPIS TEHNIČKE DOKUMENTACIJE .....	V
POPIS OZNAKA .....	VI
SAŽETAK.....	X
SUMMARY .....	XI
1. UVOD .....	1
1.1. Transformatori.....	1
1.2. Hladnjak transformatorskog ulja .....	2
2. TOPLINSKI PRORAČUN .....	5
2.1. Svojstva medija .....	6
2.2. Maseni i volumenski protoci .....	7
2.3. Konstrukcija izmjenjivača topline .....	8
2.4. Koeficijent prijelaza topline s unutrašnje strane cijevi .....	11
2.5. Prosječni ekvivalentni koeficijent prijelaza topline oребrene površine .....	13
2.6. Koeficijent prolaza topline k .....	16
2.7. Srednja logoritamska razlika temperatura .....	16
2.8. Potrebna vanjska površina izmjenjivača topline .....	16
2.9. Dimenzije izmjenjivača .....	17
2.10. Ovisnost koeficijenta prijelaza topline s unutrašnje strane cijevi $\alpha_i$ o brzini ulja u cijevi $w_2$ .....	20
2.11. Ovisnost prosječnog ekvivalentnog koeficijenta prijelaza topline oребrene površine $\alpha_{PRE}$ o naletnoj brzini zraka $w_0$ .....	22
3. PRORAČUN ČVRSTOĆE DIJELOVA APARATA.....	24
3.1. Cijevni priključci .....	24
3.2. Ravna prirubnica PN 6 za cijevne priključke .....	25
3.3. Kolektor.....	25
3.3.1. Tijelo kolektora .....	25
3.3.2. Donja ploča kolektora .....	29
3.3.3. Gornja ploča kolektora .....	30
3.4. Proračun visine cijevne stijenke iznad otvora za dizanje aparata .....	31
4. PRORAČUN PADA TLAKA.....	32
4.1. Pad tlaka na strani ulja .....	32
4.2. Pad tlaka na strani zraka.....	34
4.3. Odabir ventilatora.....	36
5. ODREĐIVANJE KATEGORIJE POSUDE POD TLAKOM .....	38
6. TEHNIČKI OPIS HLADNJAČA ULJA .....	39

7. ZAKLJUČAK .....	42
LITERATURA.....	43
PRILOZI.....	44

## POPIS SLIKA

Slika 1.1. Transformator s hladnjakom .....	1
Slika 1.2. Uspravni hladnjak .....	3
Slika 1.3. Ležeći hladnjak .....	3
Slika 2.1. Lamelasta sekcija .....	8
Slika 2.2. Raspored cijevi.....	9
Slika 2.3. Jedno rebro oko cijevi .....	9
Slika 2.4. Graf potreban za proračun $\alpha^*$ (prividni koeficijent prijelaza topline) .....	15
Slika 2.5. Presjek izmjenjivačke površine.....	19
Slika 2.6. Ovisnost $\alpha_i = \alpha_i (w_2)$ (koef. prijelaza topline s unutrašnje strane cijevi).....	21
Slika 2.7. Ovisnost $\alpha_{PRE} = \alpha_{PRE} (w_0)$ (prosječni ekv. koef. prijelaza topline oreb. površine)....	23
Slika 2.8. Graf $\Delta p = \Delta p(w_{max}, z)$ (pad tlaka na orebrenom snopu) .....	35

## **POPIS TABLICA**

Tablica 2.1. Ovisnost $\alpha_i = \alpha_i (w_2)$ .....	20
Tablica 2.2. Ovisnost $\alpha_{PRE} = \alpha_{PRE} (w_0)$ .....	22

## POPIS TEHNIČKE DOKUMENTACIJE

HU-2016-000 Hladnjak ulja transformatora

HU-2016-001 Ploča gornja od kolektora

HU-2016-002 Okvir

HU-2016-003 Kraća letva

HU-2016-004 Duža letva

HU-2016-005 Gornji / donji lim

HU-2016-006 Cijevni luk

HU-2016-007 Cijevni priključak

HU-2016-008 Plenum s okvirom

HU-2016-009 Gornji / donji dio plenuma

HU-2016-010 Bočni dio plenuma

HU-2016-011 Vrh plenuma

HU-2016-012 Cijev kolektor - sekcija

HU-2016-013 Cijevna stijenka

HU-2016-014 Postolje

HU-2016-015 Ploča donja od kolektora

HU-2016-016 Cijev kolektora

## POPIS OZNAKA

Oznaka	Jedinica	Opis
Q	W	Snaga hladnjaka
$t_1'$	°C	Ulagana temperatura zraka
$t_1''$	°C	Izlazna temperatura zraka
$\rho_1$	kg/m <sup>3</sup>	Srednja specifična gustoća zraka
$c_{p1}$	J/kgK	Srednji specifični toplinski kapacitet zraka
$t_2'$	°C	Ulagana temperatura ulja
$t_2''$	°C	Izlazna temperatura ulja
$\rho_2$	kg/m <sup>3</sup>	Srednja specifična gustoća ulja
$c_2$	J/kgK	Srednji specifični toplinski kapacitet ulja
p	bar	Pretlak ulja
$t_{sr1}$	°C	Srednja temperatura zraka
$\lambda_1$	W/mK	Koeficijent toplinske vodljivosti zraka
$\eta_1$	Ns/m <sup>2</sup>	Dinamička viskoznost zraka
$v_1$	m <sup>2</sup> /s	Kinematička viskoznost zraka
$t_{sr2}$	°C	Srednja temperatura ulja
$\lambda_2$	W/mK	Koeficijent toplinske vodljivosti ulja
$\eta_2$	Ns/m <sup>2</sup>	Dinamička viskoznost ulja
$v_2$	m <sup>2</sup> /s	Kinematička viskoznost ulja
$q_{m1}$	kg/s	Maseni protok zraka
$q_{v1}$	m <sup>3</sup> /s	Volumenski protok zraka
$q_{m2}$	kg/s	Maseni protok ulja
$q_{v2}$	m <sup>3</sup> /s	Volumenski protok ulja
$C_1$	kJ/K	Toplinski kapacitet zraka
$C_2$	kJ/K	Toplinski kapacitet ulja
$d_a$	m	Vanjski promjer cijevi
$\delta_G$	m	Debljina stijenke cijevi
$d_i$	m	Unutrašnji promjer cijevi
$\delta_R$	m	Debljina rebara
$l_R$	m	Širina rebara
$b_R$	m	Duljina rebara
h	m	Visina rebara
$\lambda_G$	W/mK	Koeficijent toplinske vodljivosti cijevi
$\lambda_R$	W/mK	Koeficijent toplinske vodljivosti rebara
$w_{2\text{pretp}}$	m/s	Pretpostavljena brzina strujanja ulja u cijevi
$n_c$		Ukupan broj cijevi po prolazu

$w_2$	m/s	Brzina strujanja ulja u cijevi
$A_R$	$m^2/m$	Ukupna površina rebara po 1 m cijevi
$A_G$	$m^2/m$	Površina cijevi između rebara po 1 m cijevi
$A$	$m^2/m$	Ukupna vanjska površina po 1 m cijevi
$A_0$	$m^2/m$	Vanjska površina neorebrene cijevi po 1 m cijevi
$A_i$	$m^2/m$	Unutrašnja površina cijevi po 1 m cijevi
$Re_2$		Reynoldsov broj za ulje
$Pr_2$		Prandtlov broj za ulje
L	m	Cjelokupna dužina cijevnog snopa
$Nu_2$		Nusseltov broj za ulje
$a_i$	$W/m^2K$	Koeficijent prijelaza topline s unutrašnje strane cijevi
$w_0$	m/s	Brzina nastrujavanja zraka
w	m/s	Brzina strujanja kroz presjek između dvije cijevi
$Re_1$		Reynoldsov broj za zrak
$Pr_1$		Prandtlov broj za zrak
$t_p^*$		Normirani poprečni korak cijevi
$t_u^*$		Normirani uzdužni korak cijevi
$f_S$		Proračunski faktor
$\eta_{st}$	$Ns/m^2$	Dinamička viskoznost zraka pri prepostavljenoj temperaturi.vanjske stijenke glatke cijevi
$c_{pst}$	$J/kgK$	Srednji specifični toplinski kapacitet zraka pri prepostavljenoj temperaturi.vanjske stijenke glatke cijevi
$\lambda_{st}$	$W/mK$	Koeficijent toplinske vodljivosti zraka pri prepostavljenoj temperaturi.vanjske stijenke glatke cijevi
$Pr_{st}$		Prandtlov broj za zrak pri prepostavljenoj temperaturi.vanjske stijenke glatke cijevi
$f_Q$		Proračunski faktor
$Nu_{SG}$		Nusseltov broj prema Hausenu za poprečno nastrujani snop glatkih cijevi
$\alpha$	$W/m^2K$	Koeficijent prijelaza topline neorebrene površine
m		Proračunski faktor
$\alpha^*$	$W/m^2K$	Prividni koeficijent prijelaza topline
$\alpha_{PRE}$	$W/m^2K$	Prosječni ekvivalentni koeficijent prijelaza topline orebrenje površine
$k_0$	$W/m^2K$	Koeficijent prolaza topline sveden na vanjsku površinu gole cijevi $A_0$
k	$W/m^2K$	Koeficijent prolaza topline sveden na cjelokupnu vanjsku površinu orebrenje cijevi A
$\Delta t_{veca}$	°C	Veća razlika temperatura
$\Delta t_{manja}$	°C	Manja razlika temperatura
$\Delta t_m$	°C	Logoritamska razlika temperatura
$A_{potr}$	$m^2$	Potrebna vanjska površina izmjenjivača topline
$A_S$	$m^2/m$	Ukupna vanjska površina jednog metra lamelaste sekcije
$Q_S$	W	Toplinski tok koji prenese jedan metar lamelaste sekcije

$h_{\text{potr}}$	m	Potrebna duljina izmjenjivača
$w_{\text{pr}0}$	m/s	Željena brzina strujanja ulja u cijevnom priključku
$d_{\text{pr}1}$	m	Izračunati promjer cijevnog priključka
$s_{\text{epr}}$	m	Debljina stijenke cijevnog priključka
$d_{\text{upr}}$	m	Unutrašnji promjer cijevnog priključka
$w_{\text{pr}}$	m/s	Stvarna brzina strujanja ulja u cijevnom priljučku
$D_s$	mm	Vanjski promjer
$s_e$	mm	Izvedbena debljina stijenke
$D_u$	mm	Unutrašnji promjer
$s_s$	mm	Debljina stijenke cijevi lamelaste sekcije
PS	bar	Radni tlak
TS	°C	Radna temperatura
$P_d$	bar	Proračunski tlak
$T_d$	°C	Proračunska temperatura
$R_{m/20}$	N/mm <sup>2</sup>	Vlačna čvrstoća pri 20°C
$R_{p0.2/20}$	N/mm <sup>2</sup>	Konvencionalna granica razvlačenja pri 20°C
$R_{p0.2/85}$	N/mm <sup>2</sup>	Konvencionalna granica razvlačenja pri 85°C
$f_{T_d}$	N/mm <sup>2</sup>	Proračunsko naprezanje materijala pri proračunstoj temperaturi $T_d$
$f_a$	N/mm <sup>2</sup>	Proračunsko naprezanje materijala pri ispitnoj temperaturi 20°C
PT	bar	Hidrostatski ispitni tlak
$c_1$	mm	Proračunski dodatak, dopušteno odstupanje dimenzija materijala prema standardu za materijale
$c_{1\text{pr}}$	mm	Proračunski dodatak cijevi priključka
$c_2$	mm	Proračunski dodatak, zbog smanjenja debljina lima korozijom i habanjem
v		Koeficijent valjanosti zavarenog spoja (faktor zavara)
$v_A$		Koeficijent oslabljenja izrezom
s	mm	Debljina stijenke
$s_A$	mm	Debljina stijenke oko najvećeg izreza
C		Proračunski koeficijent
$D_1$	mm	Unutrašnji promjer cijevi kolektora
$s_1$	mm	Debljina stijenke cijevi kolektora
$d_1$	mm	Promjer priključka
m	kg	Masa aparata
g	m/s <sup>2</sup>	Ubrzanje Zemljine sile teže
F	N	Težina aparata
$s_{\text{CS}}$	mm	Debljina cijevne stijene
$h_{\text{CS}}$	mm	Visina materijala iznad rupe za dizanje aparata
$A_{\text{CS}}$	mm	Površina kritičnog presjeka iznad rupe za dizanje aparata
$\tau$	N/mm <sup>2</sup>	Smično naprezanje

$\tau_e$	N/mm <sup>2</sup>	Smično naprezanje tečenja materijala cijevne stijenke
S		Faktor sigurnosti
$\tau_{dop}$	N/mm <sup>2</sup>	Dopušteno smično naprezanje
$\Delta p_{pr}$	Pa	Pad tlaka u priključcima aparata
$\Delta p_{Riz}$	Pa	Pad tlaka u izlaznoj komori prvog kolektora
$\Delta p_{Rul}$	Pa	Pad tlaka u ulaznoj komori prvog kolektora
$\Delta p_{Kiz}$	Pa	Pad tlaka u izlaznoj komori drugog kolektora
$\Delta p_{Kul}$	Pa	Pad tlaka u ulaznoj komori drugog kolektora
k	mm	Apsolutna prosječna visina hravavosti
$\zeta$		Koeficijent trenja
$\Delta p_{LS}$	Pa	Pad tlaka u cijevima lamelaste sekcije
$\Delta p_{CL}$	Pa	Pad tlaka u cijevnim lukovima
$\Delta p_{ulja}$	Pa	Ukupan pad tlaka na strani ulja
$w_{max}$	m/s	Brzina strujanja u najužem presjeku kod orebrenja
z		broj redova cijevi u smjeru strujanja
$\Delta p_{zr}$	Pa	Ukupan pad tlaka na strani zraka
$V_K$	m <sup>3</sup>	Volumen ulja u kolektoru
$V_C$	m <sup>3</sup>	Volumen ulja u cijevima lamelastih sekcija
$V_L$	m <sup>3</sup>	Volumen ulja u cijevnim lukovima
V	l	Ukupan volumen ulja u aparatu

## **SAŽETAK**

Transformator prilikom rada, zbog gubitaka, proizvodi i toplinu koju je potrebno odvesti.

Dijelovi transformatora uronjeni su u transformatorsko ulje koje služi i kao izolator i kao medij koji na sebe preuzima proizvedenu toplinu.

Transformatorsko ulje se cijevima i pomoću pumpe odvodi iz transformatora u hladnjak ulja, gdje predaje toplinu okolišnjem zraku i potom se vraća u transformator.

U ovom radu obrađen je jedan takav hladnjak transformatorskog ulja, prema zadanim parametrima.

Toplinskim proračunom izračunate su potrebne dimenzije aparata.

U proračunu čvrstoće provjeroeno je da li debljine stijenke dijelova aparata odgovaraju zadanim uvjetima.

Hidrodinamičkim proračunom izračunat je očekivani pad tlaka ulja u cijevima i zraka oko cijevi.

Priložen je sklopni crtež hladnjaka ulja te radionički crteži pojedinih dijelova.

U sklopnom crtežu su navedene norme preostalih dijelova aparata koji nisu opisani radioničkim crtežima.

Ključne riječi:

- hladnjak transformatorskog ulja, transformator, orebrene cijevi, ulje, zrak, lamelaste sekcije tipa L, izmjenjivač topline, ležeći.

## SUMMARY

Transformer generates heat that needs to be transported away from it.

Transformer parts are immersed into transformer oil whose purpose is to be electrical insulator and to take on generated heat.

Transformer oil is transported through pipes into oil cooler where it delivers heat to surrounding air. Oil tubes are finned, air flows on the outside driven by ventilators. Cooled down oil is then returned into transformer.

Cooler's basic dimensions were calculated using thermodynamics.

Wall thickness, pressure drop of oil in tubes and pressure drop of air on the outside of tubes were also calculated.

Drawings of all parts that are not defined by standards are included.

Key words:

Transformer oil cooler, transformer, air, finned tubes

## 1. UVOD



Slika 1.1. - Transformator s hladnjakom

### 1.1. Transformatori

Transformatori su naprave koje na principu elektromagnetske indukcije pretvaraju izmjenični sustav napona i struja jednih veličina u druge iste frekvencije. Nemaju pokretnih dijelova, to su statični električni strojevi. [1]

Transformator se sastoji od magnetske jezgre, namotaja i konstrukcijskih dijelova.

Magnetska jezgra je hladno valjani magnetski lim debljine od 0.18 do 0.35 mm.

Obično imaju dva namota, primarni i sekundarni. Primarni namot preuzima električnu energiju iz generatora ili električne mreže, pomoću elektromagnetske indukcije je prenosi na sekundarni namot koji je zatim predaje priključenom trošilu ili mreži.

Energija koju predaje sekundarni namot uvijek je manja od one koju je preuzeo primarni namot zbog gubitaka u samom transformatoru. Energetski gubici očituju se kao stvorena toplina.

Kod uljnih transformatora su jezgra i namoti uronjeni u kotao s uljem. Ulje služi kao izolacijsko i rashladno sredstvo.

Transformatori bez ulja nazivaju se suhi transformatori.

## **1.2. Hladnjak transformatorskog ulja**

Na slici 1.1. prikazan je transformator s hladnjakom ulja.

Hladnjak transformatorskog ulja postavlja se direktno na transformator, prema uputama proizvođača transformatora. Osnovni element ovog izmjenjivača topline su orebrene cijevi kojima protiče ulje, hlađeno s vanjske strane vodom ili zrakom.

Cijevi mogu biti čelične bešavne ili bakrene, rebara od čelika, bakra ili aluminija. Tip orebrenja ovisi o potrebnim uvjetima rada.

Protok fluida u izmjenjivaču topline može biti prirođan (eng. "Natural") uslijed uzgona tj. razlike temperature ili prisilan (eng. "Forced"), potiskivanjem pomoću pumpe ili ventilatora.

Tako se kod OFAF izmjenjivača (Oil Forced, Air Forced) protok ulja se postiže pumpom, zraka ventilatorom. Kod OFWF (Oil Forced, Water Forced), koristi se pumpa ulja i pumpa vode. ONWF (Oil Natural, Water Forced) nema pumpe ulja, ali ima pumpu vode.

Uljna pumpa ne isporučuje se s hladnjakom.

Mjesto predviđeno za ispust ulja iz hladnjaka nalazi se na najnižoj točki hladnjaka, dok se pumpa za pogon transformatorskog ulja nalazi na najvišoj.



Slika 1.2. - Uspravni hladnjak



Slika 1.3. - Ležeći hladnjak

Neke od izvedbi hladnjaka - uspravni (slika 1.2) i ležeći (slika 1.3).

U ovom Završnom radu konstruiran je ležeći hladnjak ulja s bočnim protokom zraka, za razliku od ovog na slici 1.3 koji ima vertikalni protok zraka.

Što je veća rashladna snaga hladnjaka, veći su potrebni protoci i dimenzije hladnjaka.

Rashladna snaga (kapacitet) se kreće od 100 kW do 2500 kW, ovisno o proizvođaču.

Orijentacijske dimenzije:

Hladnjak rashladne snage 175 kW ima dimenzije 2600x900x1500 mm.

Hladnjak rashladne snage 400 kW ima dimenzije 3500x900x2000 mm.

Hladnjak transformatorskog ulja u ovom radu je ležeći OFAF, snage 150 kW.

Ulje protiče orebrenim bešavnim čeličnim cijevima u šahovskom rasporedu. Orebrenje je od čelika u obliku pravokutnih lamela. Uljna pumpa nije odabrana u toku proračuna, ali razmotren je potreban pad tlaka kojeg treba savladati.

Ulje je hlađeno okolišnjim zrakom s bočnim strujanjem. Strujanje zraka postignuto je pomoću dva ventilatora umjesto s jednim, radi povoljnije razdiobe strujanja zraka preko lamela.

## 2. Toplinski proračun

Zadatak:

Potrebno je konstruirati hladnjak ulja za transformator s otrebrenim cijevima.

Ulje je u cijevima, hlađi se zrakom.

Zadani parametri:

Snaga hladnjaka 150 kW

$$Q=150000 \text{ W} \quad (1)$$

a) Zrak:

Ulagana temperatura zraka

$$t'_1=40^\circ\text{C} \quad (2)$$

Izlagana temperatura zraka

$$t''_1=65^\circ\text{C} \quad (3)$$

Srednja specifična gustoća zraka

$$\rho_1=1.09 \text{ kg/m}^3 \quad (4)$$

Srednja specifična toplina zraka 1.017 kJ/kgK

$$c_{pl}=1017 \text{ J/kgK} \quad (5)$$

b) Transformatorsko ulje:

Ulagana temperatura ulja

$$t'_2=85^\circ\text{C} \quad (6)$$

Izlagana temperatura ulja

$$t''_2=78^\circ\text{C} \quad (7)$$

Srednja specifična gustoća ulja  $0.83 \text{ kg/l}$

$$\rho_2 = 830 \text{ kg/m}^3 \quad (8)$$

Srednja specifična toplina ulja  $2.198 \text{ kJ/kgK}$

$$c_2 = 2198 \text{ J/kgK} \quad (9)$$

Tlak ulja

$$p = 2.5 \text{ bar pretlaka} \quad (10)$$

## 2.1. Svojstva medija

Prema [2], svojstva medija su:

a) Zrak

Srednja temperatura

$$t_{sr1} = \frac{t' + t''}{2} = \frac{40 + 65}{2} = 52.5^\circ\text{C} \quad (11)$$

koeficijent toplinske vodljivosti

$$\lambda_1 = 0.0274 \text{ W/mK} \quad (12)$$

dinamička viskoznost

$$\eta_1 = 19.6 \cdot 10^{-6} \text{ Ns/m}^2 \quad (13)$$

kinematička viskoznost

$$\nu_1 = \frac{\eta_1}{\rho_1} = \frac{19.6 \cdot 10^{-6}}{1.09} = 17.982 \cdot 10^{-6} \text{ m}^2/\text{s} \quad (14)$$

b) Ulje

Srednja temperatura

$$t_{sr2} = \frac{t' + t''}{2} = \frac{85 + 78}{2} = 81.5^\circ\text{C} \quad (15)$$

koeficijent toplinske vodljivosti

$$\lambda_2 = 0.119 \text{ W/mK} \quad (16)$$

dinamička viskoznost

$$\eta_2 = 4.32 \cdot 10^{-3} \text{ Ns/m}^2 \quad (17)$$

kinematička viskoznost

$$\nu_2 = \frac{\eta_2}{\rho_2} = \frac{4.32 \cdot 10^{-3}}{830} = 5.205 \cdot 10^{-6} \text{ m}^2/\text{s} = 5.205 \text{ mm}^2/\text{s} \quad (18)$$

## 2.2. Maseni i volumenski protoci

a) Zrak (prima toplinu)

$$q_{m1} = \frac{Q}{c_{p1} \cdot (t''_1 - t'_1)} = \frac{150000}{1017 \cdot (65 - 40)} = 5.9 \text{ kg/s} \quad (19)$$

$$q_{v1} = \frac{q_{m1}}{\rho_1} = \frac{5.9}{1.09} = 5.413 \text{ m}^3/\text{s} = 19487 \text{ m}^3/\text{h} \quad (20)$$

b) Ulje (predaje toplinu)

$$q_{m2} = \frac{-Q}{c_2 \cdot (t''_2 - t'_2)} = \frac{-150000}{2198 \cdot (78 - 85)} = 9.749 \text{ kg/s} \quad (21)$$

$$q_{v2} = \frac{q_{m2}}{\rho_2} = \frac{9.749}{830} = 0.012 \text{ m}^3/\text{s} = 7041/\text{min} \quad (22)$$

Provjera pretpostavljenih indeksa

Toplinski kapacitet zraka

$$C_1 = q_{m1} \cdot c_{p1} = 5.9 \cdot 1017 = 6000 \text{ kJ/K} \quad (23)$$

Toplinski kapacitet ulja

$$C_2 = q_{m2} \cdot c_2 = 9.749 \cdot 2198 = 21428 \text{ kJ/K} \quad (24)$$

Vrijednost  $C_1$  je manja od  $C_2$ .  $C_1$  je slabija struja,  $C_2$  je jača.

Postavljeni indeksi su u skladu s dogovorom o indeksima.

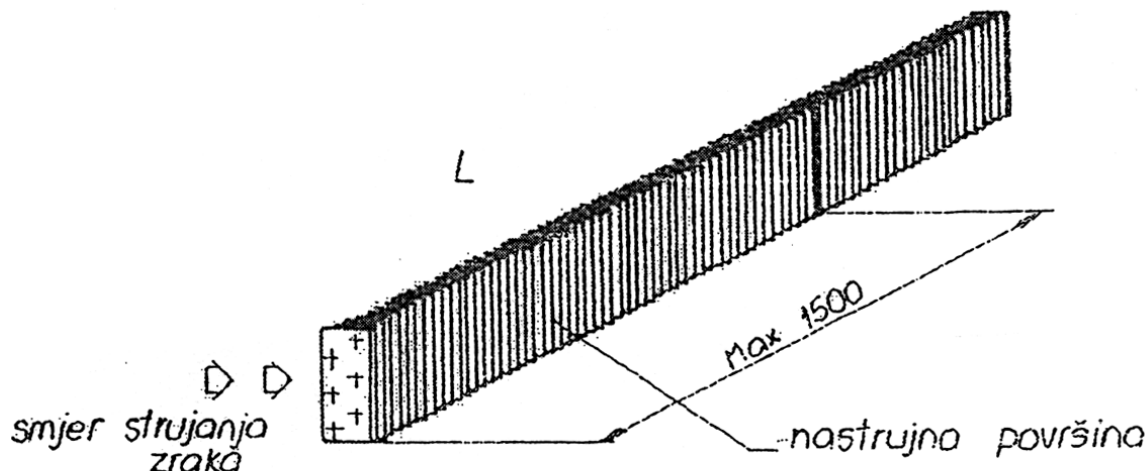
### 2.3. Konstrukcija izmjenjivača topline

Blok izmjenjivača topline sastoji se od čeličnih lamelastih sekcija tipa L.

Jedna lamelasta sekcija izrađena je od 6 čeličnih cijevi u šahovskom rasporedu, promera 25 mm i širine stijenke 2 mm na koje su navučene čelične lamele 276 x 158 mm. Cijevi su međusobno povezane s 2 cijevne stijene debljine 2.5 mm (3 za sekcije duže od 1500 mm).

Sekcije se rade u dužinama 650-5600 mm i koracima 10, 12, 15, 20 mm.

Fluid (zrak) nastrujava na dužu stranicu lamelaste sekcije.



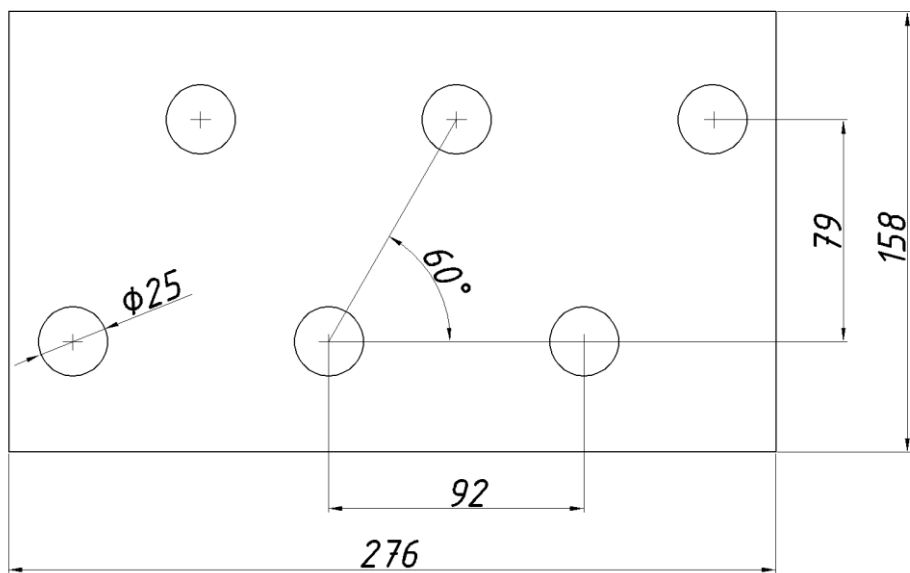
Slika 2.1 - Lamelasta sekcija

Lamelaste sekcije se slažu u blok sekcija.

Maksimalne širine bloka sekcija mogu biti 5x276 mm i 6x158 mm, tj. ukupno 30 sekcija. Cijevi su u trokutnom (šahovskom) rasporedu, horizontalni razmak između simetrala dvije cijevi je 92 mm.

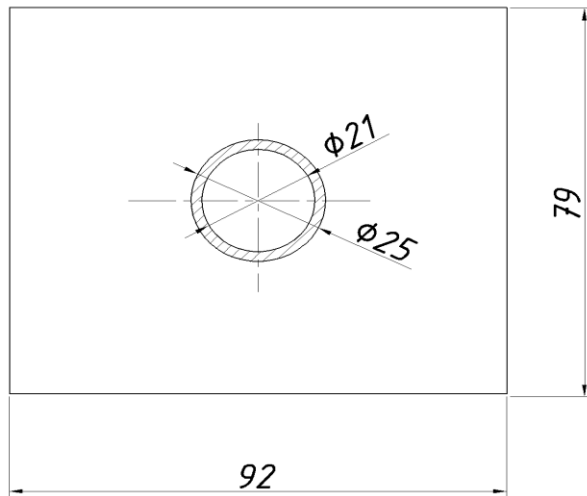
Vertikalni razmak između simetrala je 79 mm.

Cijevi zatvaraju kut od 60 stupnjeva.



Slika 2.2 - Raspored cijevi

Površina jedne lamele prikazana na slici 2.2. može se rastaviti u šest manjih pravokutnih dijelova:



Slika 2.3 - Jedno rebro oko cijevi

Na slici 2.3. prikazana je jedna cijev s pripadajućim pravokutnim rebrom dimenzija 92 x 79 mm.

Linearne mjere:

vanjski promjer cijevi... 25 mm

$$d_a = 0.025 \text{ m} \quad (25)$$

debljina stijenke cijevi... 2 mm

$$\delta_G = 0.002 \text{ m} \quad (26)$$

unutarnji promjer cijevi... 21 mm

$$d_i = d_a - 2 \cdot \delta_G = 0.025 - 2 \cdot 0.002 = 0.021 \text{ m} \quad (27)$$

debljina rebra je... 0.5 mm

$$\delta_R = 0.0005 \text{ m} \quad (28)$$

korak rebra... 10 mm

$$\delta^* = 0.01 \text{ m} \quad (29)$$

razmak između dva rebra

$$s_1 = \delta^* - \delta_R = 0.01 - 0.0005 = 0.0095 \text{ m} \quad (30)$$

širina rebra... 92 mm

$$l_R = 0.092 \text{ m} \quad (31)$$

duljina rebra... 79 mm

$$b_R = 0.079 \text{ m} \quad (32)$$

visina rebra (prema [3])

$$h = 0.565 \cdot b_R \cdot \sqrt{\frac{l_R}{b_R}} - \frac{d_a}{2} = 0.565 \cdot 0.079 \cdot \sqrt{\frac{0.092}{0.079}} - \frac{0.025}{2} = 0.0357 \text{ m} \quad (33)$$

toplinska vodljivost osnovnog materijala cijevi

$$\lambda_G = 60 \text{ W/mK} \quad (34)$$

toplinska vodljivost rebra

$$\lambda_R = 60 \text{ W/mK} \quad (35)$$

## 2.4. Koeficijent prijelaza topline s unutrašnje strane cijevi $\alpha_i$

Pretpostavljena brzina strujanja ulja u jednoj cijevi:

$$w_{2\text{pretp}} = 1 \text{ m/s} \quad (36)$$

Da bi ulje u cijevi imalo tu brzinu, potreban broj cijevi je

$$\frac{q_{v2}}{\frac{d_i^2 \cdot \pi}{4} \cdot w_{2\text{pretp}}} = \frac{0.012}{\frac{0.021^2 \cdot \pi}{4} \cdot 1} = 33.912 \quad (37)$$

Na svakoj sekciji 276 x 158 mm instalirano je 6 cijevi.

Dijeljenjem potrebnog broja cijevi sa 6 dobijemo potreban broj sekacija:

$$\frac{33.912}{6} = 5.652 \quad (38)$$

Odabrani broj lamelastih sekacija (za jedan prolaz) je 5.

Ukupan broj cijevi (po prolazu):

$$n_c = 5 \cdot 6 = 30 \text{ cijevi} \quad (39)$$

Stvarna brzina ulja u jednoj cijevi:

$$w_2 = \frac{q_{v2}}{\frac{d_i^2 \cdot \pi}{4} \cdot n_c} = \frac{0.012}{\frac{0.021^2 \cdot \pi}{4} \cdot 30} = 1.13 \text{ m/s} \quad (40)$$

Površine po metru orebrene cijevi:

Ukupna površina rebara:

$$A_R = \frac{1}{\delta^*} \cdot 2 \cdot (l_R \cdot b_R - \frac{d_a^2 \cdot \pi}{4}) = \frac{1}{0.01} \cdot 2 \cdot (0.092 \cdot 0.079 - \frac{0.025^2 \cdot \pi}{4}) = 1.355 \text{ m}^2/\text{m} \quad (41)$$

Površina cijevi između rebara:

$$A_G = \frac{1}{\delta^*} \cdot (\delta^* - \delta_R) \cdot d_a \cdot \pi = \frac{1}{0.01} \cdot (0.01 - 0.0005) \cdot 0.025 \cdot \pi = 0.075 \text{ m}^2/\text{m} \quad (42)$$

Cjelokupna vanjska površina:

$$A = A_R + A_G = 1.355 + 0.075 = 1.43 \text{ m}^2/\text{m} \quad (43)$$

Vanjska površina neorebene cijevi:

$$A_0 = d_a \cdot \pi = 0.025 \cdot \pi = 0.079 \text{ m}^2/\text{m} \quad (44)$$

Unutarnja površina cijevi:

$$A_i = d_i \cdot \pi = 0.021 \cdot \pi = 0.066 \text{ m}^2/\text{m} \quad (45)$$

Reynoldsov broj:

$$\text{Re}_2 = \frac{w_2 \cdot d_i}{v_2} = \frac{1.13 \cdot 0.021}{5.205 \cdot 10^{-6}} = 4561 \quad (\text{turbulencija}) \quad (46)$$

Prandtllov broj:

$$Pr_2 = \frac{\eta_2 \cdot c_2}{\lambda_2} = \frac{4.32 \cdot 10^{-3} \cdot 2198}{0.119} = 79.8 \quad (47)$$

Model: Izobraženo turbulentno strujanje u cijevima

Pretpostavljena sveukupna duljina cijevnog snopa, iteracija sa (89):

$$L = 12.5 \text{ m} \quad (48)$$

Nusseltov broj:

$$\begin{aligned} Nu_2 &= 0.012 \cdot (\text{Re}_2^{0.87} - 280) \cdot Pr_2^{0.4} \cdot \left(1 + \left(\frac{d_i}{L}\right)^{\frac{2}{3}}\right) \\ Nu_2 &= 0.012 \cdot (4561^{0.87} - 280) \cdot 79.8^{0.4} \cdot \left(1 + \left(\frac{0.021}{12.5}\right)^{\frac{2}{3}}\right) = 87.37 \end{aligned} \quad (49)$$

- koeficijent prijelaza topline ulje u cijevi/cijev

$$\alpha_i = \frac{Nu_2 \cdot \lambda_2}{d_i} = \frac{87.37 \cdot 0.119}{0.021} = 495 \text{ W/m}^2 \text{ K} \quad (50)$$

## 2.5. Prosječni ekvivalentni koeficijenat prijelaza topline otrebene površine $\alpha_{PRE}$

Prema [3].

Proračun koeficijenta prijelaza topline neorebrene površine  $A_0$ ,  $\alpha$ :

Model: Poprečno nastrujani snop glatkih cijevi, proračun prema Hausenu [4]

Brzina nastrujavanja  $w_0$  (brzina struje zraka prije naleta na prvi red cijevi), iteracija sa (85):

$$w_0 = 1.87 \text{ m/s} \quad (51)$$

Brzina strujanja  $w$  kroz presjek između dvije cijevi:

$$w = \frac{w_0 \cdot l_R}{l_R - d_a} = \frac{1.87 \cdot 0.092}{0.092 - 0.025} = 2.568 \text{ m/s} \quad (52)$$

Reynoldsov broj:

$$Re_1 = \frac{w \cdot d_a}{\nu_1} = \frac{2.568 \cdot 0.025}{17.982 \cdot 10^{-6}} = 3569 \quad (53)$$

Prandtllov broj:

$$Pr_1 = \frac{\eta_1 \cdot c_{pl}}{\lambda_1} = \frac{19.6 \cdot 10^{-6} \cdot 1017}{0.0274} = 0.727 \quad (54)$$

Normirani poprečni korak cijevi:

$$t^*_p = \frac{l_R}{d_a} = \frac{0.092}{0.025} = 3.68 \quad (55)$$

Normirani uzdužni korak cijevi:

$$t^*_u = \frac{b_R}{d_a} = \frac{0.079}{0.025} = 3.16 \quad (56)$$

Faktor  $f_s$ :

$$f_s = 1 + 0.1 \cdot t^*_p + \frac{0.34}{t^*_u} = 1 + 0.1 \cdot 3.68 + \frac{0.34}{3.16} = 1.476 \quad (57)$$

Pretpostavljena temperatura vanjske stijenke glatke cijevi: 60 °C

Dinamička viskoznost zraka pri toj temperaturi:

$$\eta_{st} = 19.9 \cdot 10^{-6} \text{ Ns/m}^2 \quad (58)$$

Specifični toplinski kapacitet:

$$c_{pst} = 1017 \text{ J/kgK} \quad (59)$$

Koeficijent toplinske vodljivosti:

$$\lambda_{st} = 0.0279 \text{ W/mK} \quad (60)$$

Prandtlov broj pri temp. vanjske stijenke glatke cijevi:

$$Pr_{st} = \frac{\eta_{st} \cdot c_{pst}}{\lambda_{st}} = \frac{19.9 \cdot 10^{-6} \cdot 1017}{0.0279} = 0.725 \quad (61)$$

Faktor  $f_Q$ :

$$f_Q = \left( \frac{Pr_1}{Pr_{st}} \right)^{0.25} = \left( \frac{0.727}{0.725} \right)^{0.25} = 1.001 \quad (62)$$

Nusseltov broj prema Hausenu:

$$Nu_{SG} = 0.35 \cdot f_s \cdot Re_1^{0.57} \cdot Pr_1^{0.31} \cdot f_Q = 0.35 \cdot 1.476 \cdot 3570^{0.57} \cdot 0.727^{0.31} \cdot 1.001 = 49.606 \quad (63)$$

I koeficijent prijelaza topline neorebrene površine:

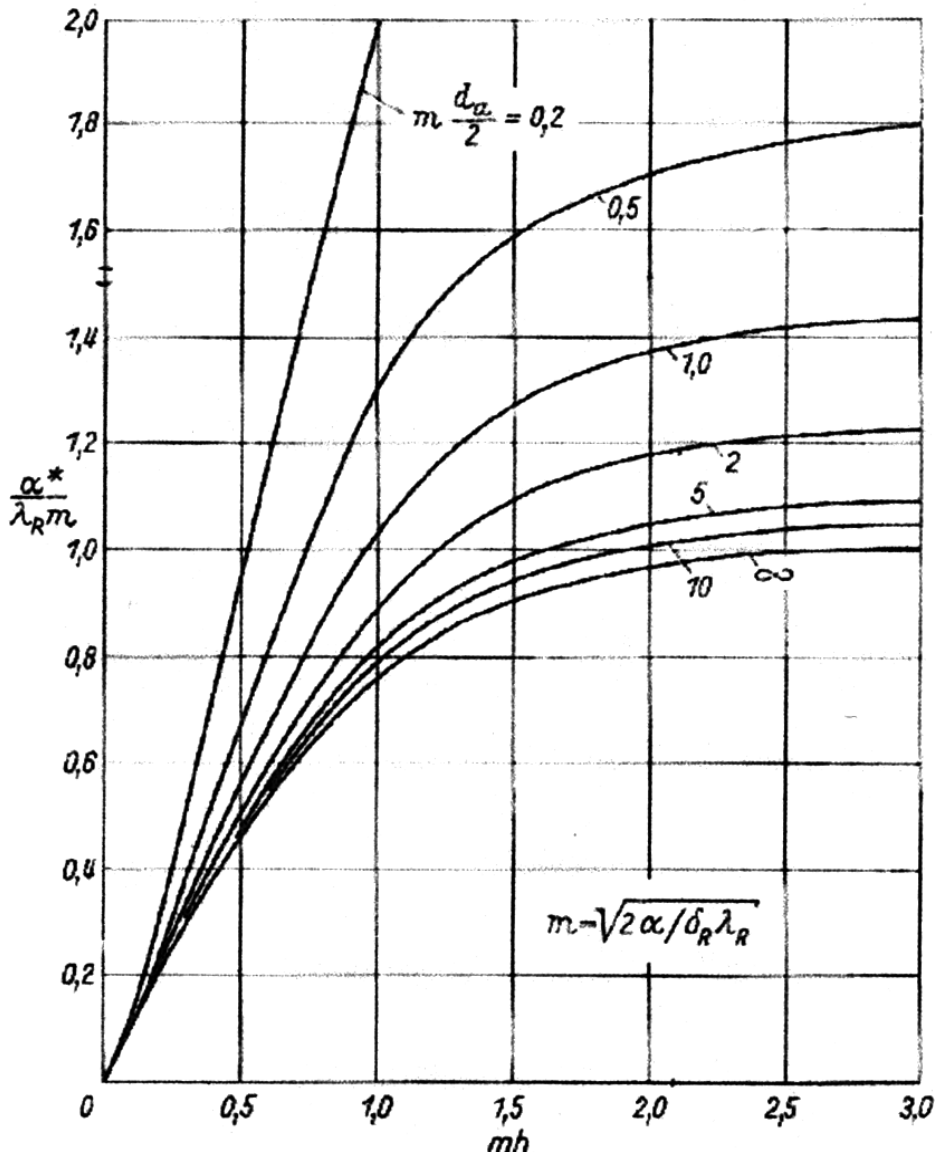
$$\alpha = \frac{Nu_{SG} \cdot \lambda_1}{d_a} = \frac{49.606 \cdot 0.0274}{0.025} = 54.368 \text{ W/m}^2\text{K} \quad (64)$$

Za daljnji proračun potrebne su vrijednosti:

$$m = \sqrt{\frac{2\alpha}{\delta_R \cdot \lambda_R}} = \sqrt{\frac{2 \cdot 54.368}{0.0005 \cdot 60}} = 60.204 \quad (65)$$

$$m \cdot h = 60.204 \cdot 0.0357 = 2.147 \quad (66)$$

$$m \cdot \frac{d_a}{2} = 60.204 \cdot \frac{0.025}{2} = 0.753 \quad (67)$$

Slika 2.4 - Graf potreban za proračun  $\alpha^*$ 

Na temelju (66) i (67) se iz slike 2.4 (prema [3]) možeочitati:

$$\frac{\alpha^*}{\lambda_R \cdot m} = 1,5 \quad (68)$$

Odatle slijedi da je prividni koeficijent prijelaza topline:

$$\alpha^* = 1,5 \cdot \lambda_R \cdot 60,204 = 5418 \text{ W/m}^2 \text{ K} \quad (69)$$

I prosječni ekvivalentni koeficijent prijelaza topline orebrene površine:

$$\alpha_{PRE} = \alpha^* \cdot \frac{\delta_R}{\delta^*} + \alpha \cdot \left(1 - \frac{\delta_R}{\delta^*}\right) = 5418 \cdot \frac{0.0005}{0.01} + 54.37 \cdot \left(1 - \frac{0.0005}{0.01}\right) = 322 \text{ W/m}^2 \text{ K} \quad (70)$$

Cijevi našeg hladnjaka ulja su orebrene, ali postupkom iz VDI 1974 je to orebrenje zamijenjeno analognim modelom golih cijevi vanjskog promjera  $d_a$ , unutrašnjeg  $d_i$ , i razmatra se kao provođenje topline kroz stijenkulu cilindra uz rubni uvjet 3. vrste. S vanjske strane je koeficijent prijelaza topline  $\alpha_{PRE}$ , a s unutrašnje  $\alpha_i$ .

## 2.6. Koeficijent prolaza topline k

$k_0$  sveden na vanjsku površinu gole cijevi  $A_0$ :

$$k_0 = \frac{1}{\frac{1}{\alpha_{PRE}} + \frac{d_a}{2\lambda_G} \cdot \ln\left(\frac{d_a}{d_i}\right) + \frac{d_a}{d_i} \cdot \frac{1}{\alpha_i}} \quad (71)$$

$$k_0 = \frac{1}{\frac{1}{322} + \frac{0.025}{2 \cdot 60} \cdot \ln\left(\frac{0.025}{0.021}\right) + \frac{0.025}{0.021} \cdot \frac{1}{495}} = 180.473 \text{ W/m}^2 \text{ K}$$

Razlika temperatura s unutrašnje i vanjske strane te toplinski tok su zadani zadatkom pa je:

$$k_0 \cdot A_0 = k \cdot A = const \quad (72)$$

$k$  sveden na vanjsku cjelokupnu vanjsku površinu orebrene cijevi  $A$ :

$$k = k_0 \cdot \frac{A_0}{A} = 180.473 \cdot \frac{0.079}{1.43} = 9.912 \text{ W/m}^2 \text{ K} \quad (73)$$

## 2.7. Srednja logoritamska razlika temperatura

$$\Delta t_{veća} = t''_2 - t'_1 = 78 - 40 = 38^\circ \text{C} \quad (74)$$

$$\Delta t_{manja} = t'_2 - t''_1 = 85 - 65 = 20^\circ \text{C} \quad (75)$$

$$\Delta t_m = \frac{\Delta t_{veća} - \Delta t_{manja}}{\ln\left(\frac{\Delta t_{veća}}{\Delta t_{manja}}\right)} = \frac{38 - 20}{\ln\left(\frac{38}{20}\right)} = 28.044^\circ \text{C} \quad (76)$$

## 2.8 Potrebna vanjska površina izmjenjivača topline $A_{potr}$

$$A_{potr} = \frac{Q}{k \cdot \Delta t_m} = \frac{150000}{9.912 \cdot 28.044} = 539.635 \text{ m}^2 \quad (77)$$

Što je  $A_{potr}$  manje, manje treba lamelastih sekcija za konstrukciju aparata i izvedba je finansijski povoljnija.

## 2.9 Dimenzije izmjenjivača

Odabrani izvedba hladnjaka ulja je ležeća. Zrak ulazi bočno i nastrujava na stranice lamelastih sekcija dužine 0.276 m. Na taj način ventilatori vuku manje nečistoća u aparat nego u slučaju da je protok zraka vertikalnan.

Jedan metar orebrene cijevi ima vanjsku površinu  $A=1.43 \text{ m}^2$  (17).

Jedan metar lamelaste sekcije ima vanjsku površinu:

$$A_s = 6 \cdot A = 6 \cdot 1.43 = 8.58 \text{ m}^2/\text{m} \quad (78)$$

Jedan metar lamelaste sekcije prenese toplinu:

$$Q_s = k \cdot A_s \cdot \Delta t_m = 9.912 \cdot 8.58 \cdot 28.044 = 2385 \text{ W} \quad (79)$$

Treba ukupno prenjeti  $Q=150000 \text{ W}$  (1) sa protokom zraka  $q_{v1}=5.413 \text{ m}^3/\text{s}$  (20) i naletnom brzinom  $w_0=1.87 \text{ m/s}$  (51).

Za tu naletnu brzinu potrebna površina je:

$$\frac{q_{v1}}{w_0} = \frac{5.413}{1.87} = 2.894 \text{ m}^2 \quad (80)$$

Ako se 5 sekcija, svaka stranice 0.276 metara stavi u niz:

$$5 \cdot 0.276 = 1.38 \text{ m} \quad (81)$$

Potrebna duljina izmjenjivača, određena protokom zraka, naletnom brzinom zraka i dimenzijama sekcija, je:

$$h_{potr} = \frac{\frac{q_{v1}}{w_0}}{5 \cdot 0.276} = \frac{2.894}{1.38} = 2.097 \text{ m} \quad (82)$$

Pet sekcija duljine 1 metar prenese:

$$5 \cdot Q_s = 5 \cdot 2385 = 11925 \text{ W} \quad (83)$$

Pet sekcija duljine  $h_{potr}=2.097 \text{ m}$  (82) prenese toplinu:

$$h_{potr} \cdot 5 \cdot Q_s = 2.097 \cdot 5 \cdot 2385 = 25011 \text{ W} \quad (84)$$

Da prenesemo  $Q=150000 \text{ W}$  (1), potreban broj prolaza je:

$$\frac{150000}{h_{potr} \cdot 5 \cdot Q_s} = \frac{150000}{2.097 \cdot 5 \cdot 2385} = 5.997 \quad (85)$$

Odabrani broj prolaza je 6.

Naletna brzina zraka  $w_0=1.87 \text{ m/s}$  (51) je dobivena iteracijom kako bi potreban broj prolaza (85) bio što bliži punom broju i duljina aparata (82) bude moguća za izvedbu.

Dimenzije izmjenjivača:

Visina...

$$5 \cdot 0.276 = 5 \cdot 0.276 = 1.38 \text{ m} \quad (86)$$

Širina...

$$6 \cdot 0.158 = 0.948 \text{ m} \quad (87)$$

Dužina...

$$h_{potr} = 2.097 \text{ m} = 2.1 \text{ m} \quad (88)$$

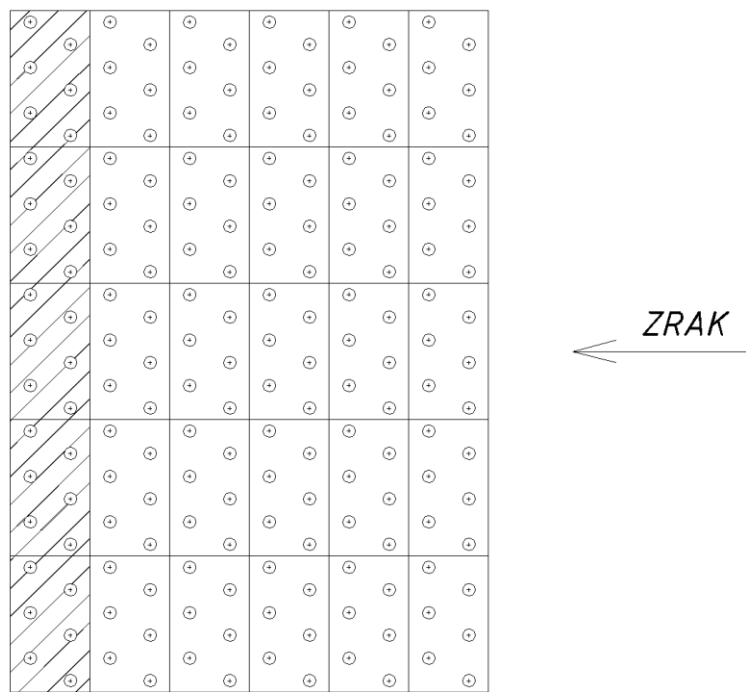
Izmjenjivač ima 6 prolaza.

Svaki prolaz ima pet sekcija postavljenih u niz.

Ukupna dužina cijevi:

$$L = h_{potr} \cdot \text{broj prolaza} = 2.1 \cdot 6 = 12.6 \text{ m} \quad (89)$$

Redovi su vertikalno postavljeni i međusobno povezani cijevnim lukovima.



Slika 2.5 - Presjek izmjenjivačke površine

Na slici 2.5 prikazan je presjek bloka lamelastih sekcija.

Dimenziije bloka su širina 6 sekcija i visina 5 sekcija.

Zrak dolazi s bočne strane.

Površina označena kosim linijama predstavlja lamele prvog prolaza.

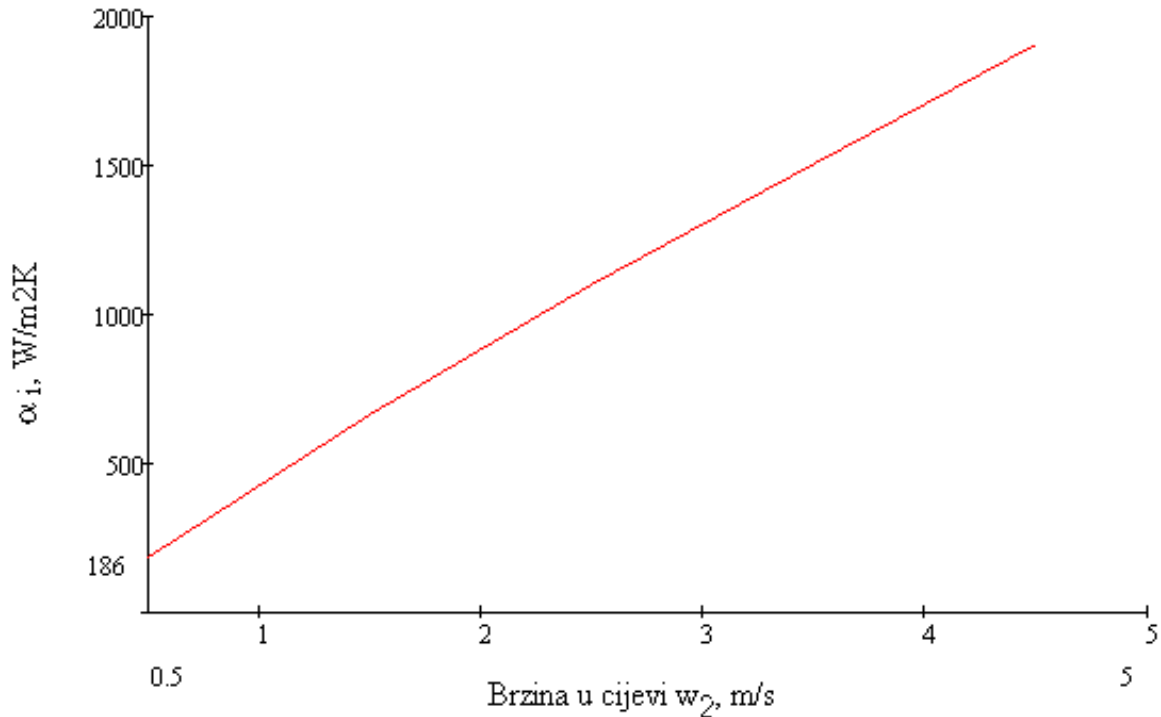
**2.10. Ovisnost koeficijenta prijelaza topline s unutrašnje strane cijevi  $\alpha_i$  o brzini ulja u cijevi  $w_2$**

Povećanjem brzine strujanja u cijevima povećava se koeficijent prijelaza topline ulje / cijev.

Izračunate vrijednosti su upisane u tablicu 2.1.

Tablica 2.1. Ovisnost  $\alpha_i = \alpha_i (w_2)$

$w_2$ , m/s	$\alpha_i$ , W/m <sup>2</sup> K
0,5	186
1	433
1.5	664
2	884
2.5	1098
3	1306
3.5	1509
4	1709
4.5	1905
5	2099



Slika 2.6 - Ovisnost  $\alpha_i = \alpha_i(w_2)$

Na slici 2.6 grafički je prikazani rezultati iz tablice 2.1.

U prikazanom području  $w_2 = 0.5 \dots 5 \text{ m/s}$  rast je gotovo linearan.

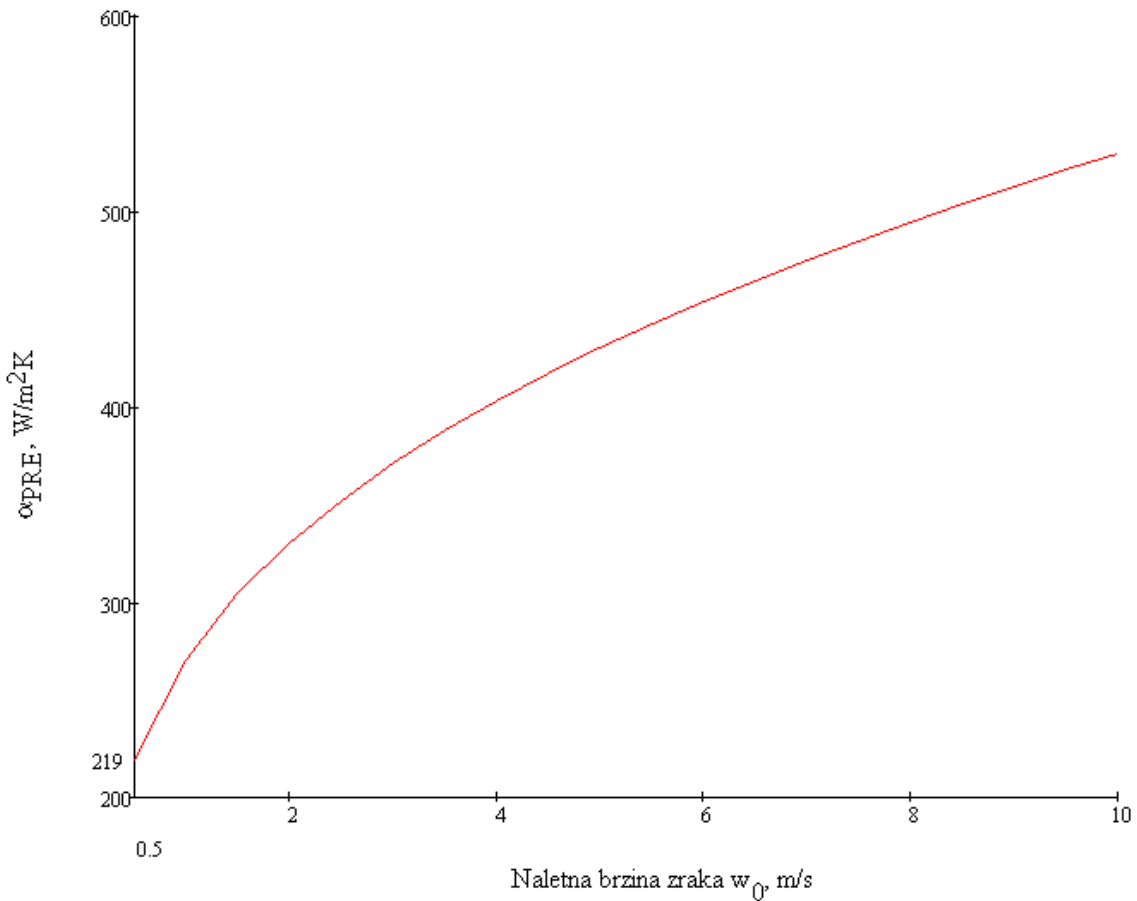
## 2.11. Ovisnost prosječnog ekvivalentnog koeficijenta prijelaza topline orebrene površine $\alpha_{PRE}$ o naletnoj brzini zraka $w_0$

Povećanjem naletne brzine zraka, povećava se i koeficijent prijelaza topline s vanjske strane orebrene površine. Radi dobivanja matematičke formule pomoću koje je crtan graf, korištena je literatura [8] koja proširuje formule i grafove iz [3].

U Tablici 2.2. upisane su izračunate vrijednosti.

Tablica 2.2. Ovisnost  $\alpha_{PRE} = \alpha_{PRE} (w_0)$

$w_0$ , m/s	$\alpha_{PRE}$ , W/m <sup>2</sup> K
0,5	219
1	270
2	330
3	370
4	402
5	429
6	453
7	474
8	494
9	512
10	529

Slika 2.7 - Ovisnost  $\alpha_{PRE} = \alpha_{PRE}(w_0)$ 

Na slici 2.7 grafički su prikazani rezultati iz tablice 2.2.

Koeficijent prijelaza topline raste s porastom naletne brzine zraka.

Prema (82), naletna brzina zraka u kombinaciji sa protok zraka (zadan zadatkom) i brojem lamelastih sekacija po prolazu određuje duljinu aparata i konačno broj prolaza (85).

Kao što je ranije rečeno, naletna brzina zraka  $w_0=1.87$  m/s (51) je dobivena iteracijom kako bi potreban broj prolaza (85) bio što bliži punom broju i duljina aparata (82) bude moguća za izvedbu.

### 3. Proračun čvrstoće dijelova aparata

Dijelovi i materijal:

- kolektor - materijal P195GH (cijevi) i - materijal P 235 GH (ploče)
- cijevni priključak za ulaz ulja u kolektor (2 kom) - P195GH
- cijevna stijena (2 kom) - materijal P 235 GH, noseća konstrukcija aparata, 12 mm debljine
- lamelaste sekcije - P195GH, cijevi s lamelama, priključni dio cijevi dužine 45 mm
- ventilator / kontraprirubnica za ventilator / zaštitna mreža iz kataloga Končar
- čelični limovi za plenum, materijal S235JR prema HRN EN 10025-2 (nelegirani konstrukcijski čelični lim)
- postolje od materijala Fe 310-0, opći konstrukcijski čelik

#### 3.1. Cijevni priključci

- željena brzina strujanja ulja, odabранo:

$$w_{prO} = 2 \text{ m/s} \quad (90)$$

- promjer priključka

$$d_{pri} = \sqrt{\left(\frac{4 q_{v2}}{w_{prO} \cdot \pi}\right)} = \sqrt{\left(\frac{4 \cdot 0.012}{2 \cdot \pi}\right)} = 0.08647 \text{ m} \quad (91)$$

Iz norme HRN EN 10216-2 (Bešavne čelične za tlačne namjene, 2 dio - cijevi od nelegiranih i legiranih čelika s utvrđenim svojstvima pri povišenim temperaturama) odabrana je cijev:

- materijal P195GH
- vanjski promjer 88.9 mm
- debljina stijenke 3.2 mm.

$$s_{ePr} = 0.0032 \text{ m} \quad (92)$$

- unutrašnji promjer 82.5 mm

$$d_{uPr} = 0.0889 - 2 \cdot s_{ePr} = 0.0889 - 2 \cdot 0.0032 = 0.0825 \text{ m} \quad (93)$$

- stvarna brzina strujanja

$$w_{pr} = \frac{4q_{v2}}{d_{uPr}^2 \cdot \pi} = \frac{4 \cdot 0.012}{0.0825^2 \cdot \pi} = 2.197 \text{ m/s} \quad (94)$$

### 3.2. Ravna prirubnica PN 6 za cijevne priključke

Iz norme DIN EN 1092-1 odabrana je ravna prirubnica sljedećih karakteristika:

- nazivni tlak *PN 6*

- priključne mjere cjevi

  - vanjski promjer cijevi  $d=88.9 \text{ mm}$

- mjere prirubnice su:

  - Vanjski promjer  $D=190 \text{ mm}$

  - Promjer kruga rupa  $k=150 \text{ mm}$

  - širina prirubnice  $C_I=18 \text{ mm}$

  - Unutrašnji promjer  $B_I=90.5 \text{ mm}$

- Vijci

  - 4 kom

  - Navoj M16

  - Promjer rupe od vijaka  $L=18 \text{ mm}$

Materijal P245GH.

### 3.3. Kolektor

#### 3.3.1. Tijelo kolektora

Izrada od čelične bešavne cjevi.

Iz norme HRN EN 10216-2 odabrana je cijev:

- materijal P195GH

- vanjski promjer  $D_s=168.3 \text{ mm}$

- debljine stijenke  $s_e=4.5 \text{ mm}$

- unutrašnji promjer  $D_u=159.3 \text{ mm}$

Na ovu cijev su naverene manje cjevi koje vode ulje u lamelaste sekcije, vanjskog promera 25 mm.

Sa obje strane cijevi zavarena je ravna čelična ploča debljine 5 mm.

Na gornju čeličnu ploču navaren je cijevni priključak vanjskog promjera 88.9 mm (jednostrano zavarena ploča s provučenom ukrutom), a na donju nije (jednostrano zavarena ploča bez ukrute).

Na donjoj čeličnoj ploči je čep za ispuštanje ulja s bakrenom brtvom koji zatvara površinu i nema rupe.

Proračun čvrstoće cijevi izvrgnute unutrašnjem tlaku prema normi HRN M.E2.253

Uvjet primjene norme:

$$\frac{D_s}{D_u} = 1.056 \leq 1.2$$

Uvjet zadovoljen

#### KONSTRUKCIJSKI PARAMETRI

- proračunski tlak  $P_d = 2.5$  bar = PS
- proračunska temperatura  $T_d = 85^\circ\text{C} = TS$
- vanjski promjer  $D_s = 168.3$  mm
- unutrašnji promjer  $D_u = 159.3$  mm
- odabrana debljina stijenke  $s_e = 4.5$  mm
- promjer najvećeg izreza  $d_u = 21$  mm
- debljina stijenke cijevi lamelaste sekcije  $s_s = 2$  mm
- materijal P195GH
- vrijednosti čvrstoće prema HRN EN 10216-2:

$$\text{vlačna čvrstoća pri } 20^\circ\text{C} \quad R_{m/20} = 320 \text{ N/mm}^2$$

$$\text{konvencionalna granica razvlačenja pri } 20^\circ\text{C} \quad R_{p0.2/20} = 195 \text{ N/mm}^2$$

$$\text{konvencionalna granica razvlačenja pri } T_d = 85^\circ\text{C} \text{ je } R_{p0.2/85} = 175 \text{ N/mm}^2$$

- proračunsko naprezanje materijala pri proračunskoj temperaturi  $T_d = 85^\circ\text{C}$

$$f_{Td} = \min\left(\frac{R_{p0.2/85}}{1.5}, \frac{R_{m/20}}{2.4}\right) = \min\left(\frac{175}{1.5}, \frac{320}{2.4}\right) = \min(116.6; 133.3) = 116.6 \text{ N/mm}^2 \quad (95)$$

- proračunsko naprezanje pri ispitnoj temperaturi 20°C

$$f_a = \min\left(\frac{R_{p0,2/20}}{1.5}; \frac{R_{m/20}}{2.4}\right) = \min\left(\frac{195}{1.5}; \frac{320}{2.4}\right) = \min(130; 133.3) = 130 \text{ N/mm}^2 \quad (96)$$

- hidrostatski ispitni tlak

$$\begin{aligned} PT &= \max\left(1.25 \cdot P_d \cdot \frac{f_a}{f_{Td}}; 1.43 \cdot P_s\right) \\ PT &= \max\left(1.25 \cdot 2.5 \cdot \frac{130}{116.6}; 1.43 \cdot 2.5\right) = \max(3.48, 3.75) = 3.75 \text{ bar} \end{aligned} \quad (97)$$

- dodatak  $c_1$  ovisi o promjeru cijevi.

Tolerancije na promjer prema tablici 7, HRN EN 10216-2, je max (+-1%D ili 0.5mm).

Za cijev promjera 168.3 mm je max(1.683 mm, 0.5 mm) = 1.683 mm

odabrano:  $c_1 = 1.683 \text{ mm}$

Za cijev promjera 25 mm je max(0.25 mm, 0.5 mm) = 0.5 mm

odabrano:  $c_{1p} = 0.5 \text{ mm}$

- dodatak  $c_2 = 1 \text{ mm}$  (točka 9.2.1, HRN M.E2.250, za feritne čelike pri  $s < 30 \text{ mm}$ )

- faktor zavara  $v = 1$  (bešavna cijev)

- koeficijent oslabljenja zbog izreza  $v_A$  prema normi HRN M.E2.256

$$\text{uvjet primjene } 0.002 \leq \frac{s_e - c_1 - c_2}{D_s} = \frac{4.5 - 1.683 - 1}{168.3} = 0.011 \leq 0.1 \quad \text{ZADOVOLJAVA}$$

prepostavka - ojačanje nije potrebno

dva parametra potrebna za očitanje  $v_A$

$$\frac{s_s - c_{1p} - c_2}{s_e - c_1 - c_2} = \frac{2 - 0.5 - 1}{4.5 - 1.683 - 1} = 0.275 \quad (98)$$

$$\begin{aligned} \frac{d_u}{\sqrt{(D_u + s_e - c_1 - c_2) \cdot (s_e - c_1 - c_2)}} &= \\ \frac{21}{\sqrt{(159.3 + 4.5 - 1.683 - 1) \cdot (4.5 - 1.683 - 1)}} &= 1.227 \end{aligned} \quad (99)$$

Iz slike 7 (za izreze u cilindrima i konusima) HRN M.E2.256 očitanje  $v_A = 0.65$

## PRORAČUN DEBLJINE STIJENKE

Radno stanje - pri 85°C

$$s = \frac{D_s \cdot P_d}{20 \cdot f_{Td} \cdot v + P_d} + c_1 + c_2 = \frac{168.3 \cdot 2.5}{20 \cdot 116.6 \cdot 1 + 2.5} + 1.683 + 1 = 2.863 \text{ mm} \quad (100)$$

Ispitno stanje - pri 20°C

$$s = \frac{D_s \cdot PT}{20 \cdot \frac{R_{p0,2/20}}{1.05} \cdot v + PT} + c_1 + c_2 = \frac{168.3 \cdot 3.75}{20 \cdot \frac{195}{1.05} \cdot 1 + 3.75} + 1.683 + 1 = 2.853 \text{ mm} \quad (101)$$

Izvedena debljina stijike  $s_e = 4.5 \text{ mm}$  ZADOVOLJAVA

## POTREBNA DEBLJINA STIJENKE OKO NAJVEĆEG IZREZA

Radno stanje - pri 85°C

$$s_A = \frac{D_s \cdot P_d}{20 \cdot f_{Td} \cdot v_A + P_d} + c_1 + c_2 = \frac{168.3 \cdot 2.5}{20 \cdot 116.6 \cdot 0.65 + 2.5} + 1.683 + 1 = 2.96 \text{ mm} \quad (102)$$

Ispitno stanje - pri 20°C

$$s_A = \frac{D_s \cdot PT}{20 \cdot \frac{R_{p0,2/20}}{1.05} \cdot v_A + PT} + c_1 + c_2 = \frac{168.3 \cdot 3.75}{20 \cdot \frac{195}{1.05} \cdot 0.65 + 3.75} + 1.683 + 1 = 2.944 \text{ mm} \quad (103)$$

Ojačanje nije potrebno jer je  $s_e = 4.5 \text{ mm} \geq s_A = 2.96 \text{ mm}$

### 3.3.2. Donja ploča kolektora

Proračun čvrstoće jednostrano zavarene ploče (bez ukrute) prema normi HRN M.E2.259

- materijal P 235 GH (Č1202), prema DIN EN 10028-2, Kotlovske limovi od čelika za povišene temperature

- vrijednosti čvrstoće prema [5] :

$$\text{vlačna čvrstoća pri } 20^\circ\text{C} \quad R_{m/20} = 360 \text{ N/mm}^2$$

$$\text{konvencionalna granica razvlačenja pri } 20^\circ\text{C} \quad R_{p0.2/20} = 235 \text{ N/mm}^2$$

$$\text{konvencionalna granica razvlačenja pri } T_d = 85^\circ\text{C je } R_{p0.2/85} = 190 \text{ N/mm}^2$$

- proračunsko naprezanje materijala pri proračunskoj temperaturi  $T_d = 85^\circ\text{C}$

$$f_{Td} = \min\left(\frac{R_{p0.2/85}}{1.5}; \frac{R_{m/20}}{2.4}\right) = \min\left(\frac{190}{1.5}; \frac{360}{2.4}\right) = \min(126.6; 150) = 126.6 \text{ N/mm}^2 \quad (104)$$

## KONSTRUKCIJSKI PARAMETRI

- debljina cijevi  $s_1 = 4.5 \text{ mm}$

- debljina ploče  $s_e = 5 \text{ mm}$

- proračunski koeficijent  $C=0.45$  ( $s_e \leq 3s_1$ )

- unutrašnji promjer cijevi  $D_1 = D_u = 159.3 \text{ mm}$   $D_1 = D_u = 159.3 \text{ mm}$

## POTREBNA DEBLJINA STIJENKE

Radno stanje - pri  $85^\circ\text{C}$

$$s = C \cdot D_1 \cdot \sqrt{\frac{P_d}{10 \cdot f_{Td}}} = 0.45 \cdot 159.3 \cdot \sqrt{\frac{2.5}{10 \cdot 126.6}} = 3.186 \text{ mm} \quad (105)$$

Ispitno stanje - pri  $20^\circ\text{C}$

$$s = C \cdot D_1 \cdot \sqrt{\frac{PT}{10 \cdot \frac{R_{p0.2/20}}{1.05}}} = 0.45 \cdot 159.3 \cdot \sqrt{\frac{3.75}{10 \cdot \frac{235}{1.05}}} = 2.934 \text{ mm} \quad (106)$$

Izvedena debljina stijenke ploče  $s_e = 5 \text{ mm}$  zadovoljava.

### 3.3.3. Gornja ploča kolektora

Proračun čvrstoće jednostrano zavarene ploče s provučenom ukrutom prema normi HRN M.E2.259

- materijal P 235 GH

#### KONSTRUKCIJSKI PARAMETRI

- debljina cijevi  $s_1 = 4.5 \text{ mm}$
- debljina ploče  $s_e = 5 \text{ mm}$
- proračunski koeficijent  $C_2 = 0.4$  ( $s_e \leq 3s_1$ )
- unutrašnji promjer cijevi  $D_1 = D_u = 159.3 \text{ mm}$
- unutrašnji promjer priključka  $d_1 = 82.5 \text{ mm}$

#### POTREBNA DEBLJINA STIJENKE

Radno stanje - pri  $85^\circ\text{C}$

$$s = C \cdot (D_1 - d_1) \cdot \sqrt{\frac{P_d}{10 \cdot f_{Td}}} = 0.4 \cdot (159.3 - 82.5) \cdot \sqrt{\frac{2.5}{10 \cdot 126.6}} = 1.536 \text{ mm} \quad (107)$$

Ispitno stanje - pri  $20^\circ\text{C}$

$$s = C \cdot (D_1 - d_1) \cdot \sqrt{\frac{PT}{10 \cdot \frac{R_{p0.2/20}}{1.05}}} = 0.45 \cdot (159.3 - 82.5) \cdot \sqrt{\frac{3.75}{10 \cdot \frac{235}{1.05}}} = 1.415 \text{ mm} \quad (108)$$

Izvedena debljina stijenke ploče  $s_e = 5 \text{ mm}$  zadovoljava.

### 3.4. Proračun visine cijevne stijenke iznad otvora za dizanje aparata

Pri gornjem vrhu cijevne stijene je rupa koja služi za dizanje aparata.

Materijal iznad rupe je opterećen na smik.

Promjer rupe je 30 mm.

Izračunata masa aparata je 3.2 tone. Za proračun koristim masu 3.5 tona.

Sila opterećenja

$$F = m \cdot g = 3500 \cdot 9.81 = 34335 \text{ N} \quad (109)$$

Debljina cijevne stijene

$$s_{CS} = 12 \text{ mm} \quad (110)$$

Pretpostavljena visina materijala iznad rupe

$$h_{CS} = 50 \text{ mm} \quad (111)$$

Ukupna površina presjeka

$$A_{CS} = s_{CS} \cdot h_{CS} = 12 \cdot 50 = 600 \text{ mm}^2 \quad (112)$$

Smično naprezanje je

$$\tau = \frac{F}{A_{CS}} = \frac{34335}{600} = 57.2 \text{ N/mm}^2 \quad (113)$$

Smično naprezanje tečenja materijala cijevne stijenke

$$\tau_e = 110 \text{ N/mm}^2 \quad (114)$$

Faktor sigurnosti

$$S = 1.5 \quad (115)$$

Tako da je dopušteno slično naprezanje

$$\tau_{dop} = \frac{\tau_e}{S} = \frac{110}{1.5} = 73.3 \text{ N/mm}^2 \quad (116)$$

Vrijedi  $\tau \leq \tau_{dop}$  i visina  $h=50$  mm zadovoljava.

## 4. Proračun pada tlaka

### 4.1. Pad tlaka na stani ulja

- pad tlaka u priključcima prema [4]

Koeficijent otpora na ulaznom priključku je 0.5, na izlaznom je 1. Zajedno iznose 1.5.

$$\Delta p_{pr} = 1.5 \cdot \frac{\rho_2 \cdot w_{pr}^2}{2} = 1.5 \cdot \frac{830 \cdot 2.197^2}{2} = 3005 \text{ Pa} \quad (117)$$

- pad tlaka u prvom kolektoru prema [4]

Kolektor se sastoji od izlazne komore (medij struji iz cijevnog priključka u kolektor brzinom  $w_{pr}$ ) i ulazne komore (naglo smanjenje presjeka strujanja - medij iz prvog kolektora ulazi u cijevi lamelaste sekcije brzinom  $w_2$ ).

Koeficijent otpora za izlaznu komoru je 1.0, za ulaznu komoru je 0.5.

Pad tlaka u izlaznoj komori:

$$\Delta p_{Riz} = 1 \cdot \frac{\rho_2 \cdot w_{pr}^2}{2} = 1 \cdot \frac{830 \cdot 2.197^2}{2} = 2003 \text{ Pa} \quad (118)$$

Pad tlaka u ulaznoj komori:

$$\Delta p_{Rul} = 0.5 \cdot \frac{\rho_2 \cdot w_2^2}{2} = 0.5 \cdot \frac{830 \cdot 1.13^2}{2} = 265 \text{ Pa} \quad (119)$$

- pad tlaka u drugom kolektoru

Kolektor se sastoji od izlazne komore (medij struji iz cijevi lamelaste sekcije u kolektor brzinom  $w_2$ ) i ulazne komore (medij struji iz kolektora u cijevni priključak brzinom  $w_{pr}$  te odlazi iz hladnjaka ulja).

Pad tlaka u izlaznoj komori:

$$\Delta p_{Kiz} = 1 \cdot \frac{\rho_2 \cdot w_2^2}{2} = 1 \cdot \frac{830 \cdot 1.13^2}{2} = 530 \text{ Pa} \quad (120)$$

Pad tlaka u ulaznoj komori:

$$\Delta p_{Kul} = 0.5 \cdot \frac{\rho_2 \cdot w_{pr}^2}{2} = 0.5 \cdot \frac{830 \cdot 2.197^2}{2} = 1001 \text{ Pa} \quad (121)$$

- pad tlaka u cijevima lamelaste sekcije

Reynoldsov broj za cijevi:

$$\text{Re}_2 = \frac{w_2 \cdot d_i}{\nu_2} = \frac{1.13 \cdot 0.021}{5.205 \cdot 10^{-6}} = 4561 \text{ (turbulencija)} \quad (122)$$

Apsolutna prosječna visina hrapavosti, nove čelične cijevi:

$$k = 0.05 \text{ mm} \quad (123)$$

Potrebno je izračunati koeficijent trenja prema Moodyjevoj formuli.

$$\begin{aligned} \zeta &= 5.5 \cdot 10^{-3} \cdot \left( 1 + \sqrt[3]{2 \cdot 10^4 \cdot \frac{k}{d_i} + \frac{10^6}{\text{Re}_2}} \right) \\ \zeta &= 5.5 \cdot 10^{-3} \cdot \left( 1 + \sqrt[3]{2 \cdot 10^4 \cdot \frac{0.05}{21} + \frac{10^6}{4561}} \right) = 0.041 \end{aligned} \quad (124)$$

$$\Delta p_{LS} = \text{broj prolaza} \cdot \zeta \cdot \frac{h_{potr} \cdot \rho_2 \cdot w_2^2}{d_i} = 6 \cdot 0.041 \cdot \frac{2.1}{0.021} \cdot \frac{830 \cdot 1.13^2}{2} = 13017 \text{ Pa} \quad (125)$$

- pad tlaka u cijevnim lukovima prema [5]

Ulje prolazi kroz pet cijevnih lukova.

Polumjer zakrivljenosti kružnog luka:

$$r = \frac{0.158}{2} = 0.079 \text{ m} \quad (126)$$

Unutrašnji promjer cijevi kružnog luka

$$d_i = 0.021 \text{ m} \quad (127)$$

Za omjer  $r/d_i = 3.76$  je koeficijent gubitaka:

$$\zeta = 2 \cdot 0.125 = 0.25 \quad (128)$$

Za kut od  $180^\circ$  je  $\zeta$  potrebno množiti sa  $n=1.7$

$$\Delta p_{CL} = 5 \cdot n \cdot \zeta \cdot \frac{\rho_2 \cdot w_2^2}{2} = 5 \cdot 1.7 \cdot 0.25 \cdot \frac{830 \cdot 1.13^2}{2} = 1127 \text{ Pa} \quad (129)$$

Ukupan pad tlaka na strani ulja je:

$$\begin{aligned} \Delta p_{ulje} &= \Delta p_{pr} + \Delta p_{Kul} + \Delta p_{Kiz} + \Delta p_{Rul} + \Delta p_{Riz} + \Delta p_{LS} + \Delta p_{CL} \\ \Delta p_{ulje} &= 3005 + 1001 + 530 + 265 + 2003 + 13017 + 1127 = 20950 \text{ Pa} \end{aligned} \quad (130)$$

#### 4.2. Pad tlaka na stani zraka

Razmak između dvije cijevi je  $l_R=0.092$  m (31), korak rebra je  $\delta^*=0.01$  m (29), debljina rebra je  $\delta_R=0.0005$  m (28), vanjski promjer cijevi je  $d_a=0.025$  m (25), brzina nastrujavanja je  $w_0=1.87$  m/s (51).

Brzina u nazužem presjeku:

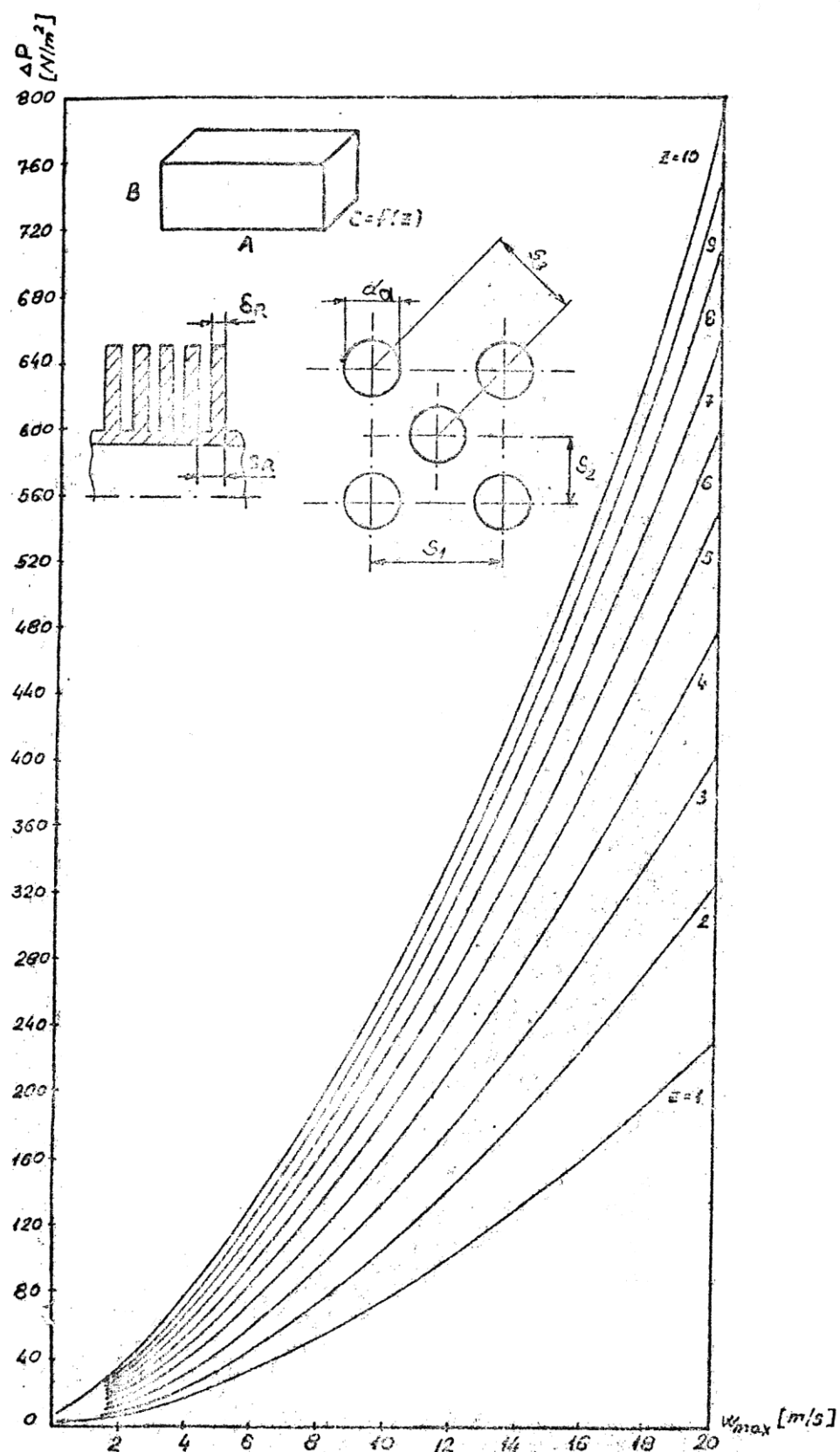
$$w_{max}=w_0 \cdot \frac{\delta^* \cdot l_R}{(l_R - d_a) \cdot (\delta^* - \delta_R)} = 1.87 \cdot \frac{0.01 \cdot 0.092}{(0.092 - 0.025) \cdot (0.01 - 0.0005)} = 2.703 \text{ m/s} \quad (131)$$

Broj redova cijevi u smjeru strujanja

$$z=12 \quad (132)$$

Pad tlaka na orebrenom snopu (očitanje iz grafa prema [7] )

$$\Delta p_z = 55 \text{ N/mm}^2 \quad (133)$$

Slika 2.8 – Graf  $\Delta p = \Delta p(w_{max}, z)$ 

Slika 2.8 iz [6] prikazuje kako se mijenja pad tlaka na orebrenim cijevima ovisno o brzini u najužem presjeku  $w_{max}$  i broju redova cijevi u smjeru strujanja  $z$ .

### 4.3. Odabir ventilatora

Radi povoljnijeg usisa preko cijele dužine lamelastih sekcija, potrebno je koristiti dva ventilatora.

Protok jednog ventilatora je

$$\frac{q_{vI}}{2} = \frac{5.413}{2} = 2.706 \text{ m}^3/\text{s} = 9.741 \text{ m}^3/\text{h} \quad (134)$$

Pad tlaka

$$\Delta \frac{p_{zx}}{2} = 27.5 \text{ N/mm}^2 \quad (135)$$

Iz tablice kataloga [7] odabran je aksijalni ventilator pod rednim brojem 10.

Tip ventilatora VAAZ 560-A

Promjer kućišta ventilatora 560 mm

Tip motora SAZ 90S-4

Snaga motora 1.1 kW

Broj okretaja 1380

Težina 68 kg

Normalna konstrukcija (kratko kućište)

Unutrašnji promjer kanala u kojem je smješten ventilator  $D=566$  mm

Dužina kućišta  $L=260$  mm

Broj polova 180/2

Izvedbeni oblik motora B14/B5

Debljina stijenke kućišta  $S=3$  mm

Debljina prirubnice  $E=5$  mm

Vanjski promjer prirubnice  $D_I=672$  mm

Promjer kruga rupa prirubnice  $D_2=629$  mm

Vijci 16 kom, promjer rupe  $D_3=14$  mm

Ventilator se montira na kontraprirubnicu sljedećih karakteristika:

Unutrašnji promjer  $D=572$  mm

Širina kontraprirubnice  $E=5$  mm

Vanjski promjer  $D_1=672$  mm

Promjer kruga rupa kontraprirubnice  $D_2=629$  mm

Vijci 16 kom, promjer rupe  $D_3=14$  mm

S vanjske strane ventilatora potrebno je montirati pripadajuću zaštitnu mrežu:

$D=572$  mm

Vanjski promjer  $D_1=672$  mm

Promjer kruga rupa  $D_2=629$  mm

Vijci 16 kom, promjer rupe  $D_3=14$

## 5. Određivanje kategorije posude pod tlakom

Prema pravilniku o tlačnoj opremi, Narodne novine 135/05.

Transformatorsko ulje je fluid grupe 1, opasni fluidi.

Radni tlak (pretlak) je PS=2.5 bar.

Ukupni volumen ulja u aparatu (približni proračun):

- volumen ulja u kolektorima

$$V_K = 2 \cdot \frac{0.1593^2 \cdot \pi}{4} \cdot 1.45 = 57.8 \cdot 10^{-3} \text{ m}^3 \quad (136)$$

- volumen ulja u cijevima lamelastih sekcija

$$V_C = \frac{0.021^2 \cdot \pi}{4} \cdot 12.6 \cdot 30 = 130.9 \cdot 10^{-3} \text{ m}^3 \quad (137)$$

- volumen ulja u cijevnim lukovima

$$V_L = 150 \cdot \frac{0.021^2 \cdot \pi}{4} \cdot 0.28 = 14.5 \cdot 10^{-3} \text{ m}^3 \quad (138)$$

Ukupni volumen iznosi

$$V = 200 \text{ litara} \quad (139)$$

Umnožak tlaka i volumena

$$PS \cdot V = 2.5 \cdot 200 = 500 \text{ bar x l} \quad (140)$$

Očitanjem iz dijagrama 3 pravilnika o tlačnoj opremi, ovaj aparat klasificiran je kategoriju I.

## 6. Tehnički opis hladnjaka ulja

Aparat je izmjenjivač topline sa orebrenim cijevima. U cijevima je transformatorsko ulje, oko cijevi struji zrak gonjen ventilatorima. Broj prolaza je 6.

Pretlak ulja je 2.5 bar. Snaga aparata je 150 kW.

Glavni dijelovi aparata:

Dva kolektora s ravnim prirubnicama

6 x 5 blok lamelastih sekcija tipa L

Plenum s okvirom

Dva elektromotora s ventilatorima i zaštitnim mrežama

Gornji i donji pokrovni lim

Dvije cijevne stijene

Cijevi za spajanje kolektora s lamelastim sekcijama, 60 kom

Cijevni lukovi, 150 kom

Korišteni materijali:

Kolektor	P195GH
Cijevni priključci i sve neorebrene cijevi	P195GH
Cijevna stijenka	P235GH
Lamelaste sekcije	P195GH
Čelični limovi za plenum	S235JR
Čelični lim za okvir	S235JR
Gornji i donji lim	S235JR
Čelični lim za gornju i donju ploču kolektora	S235JR
Postolje	Fe 310-0
Ravna prirubnica	P245GH

**Popis primjenjenih normi:**

HRN EN 1092-1	Prirubnice i njihovi spojevi - Kružne prirubnice za cijevi, ventile, spojne dijelove i pribor, označene PN oznakom - 1 dio: Čelične prirubnice
HRN EN 10025-2	Toplo valjani proizvodi od konstrukcijskih čelika, 2 dio: Tehnički uvjeti isporuke za nelegirane konstrukcijske čelike
HRN EN 10028-2	Plosnati proizvodi od čelika za tlačne namjene, 2 dio: Nelegirani i legirani čelici s utvrđenim svojstvima pri povišenoj temperaturi
HRN EN 10216-2	Bešavne čelične cijevi za tlačne namjene, 2 dio: Cijevi od nelegiranih i legiranih čelika s utvrđenim svojstvima pri povišenim temperaturama
HRN M.E2.250	Proračun dijelova pod tlakom, opći zahtjevi
HRN M.E2.253	Proračun cilindričnih i kuglastih plašteva izvrgnutih djelovanju unutrašnjeg tlaka
HRN M.E2.256	Proračun izreza u cilindrima, konusima i kuglama izvrgnutim djelovanju unutrašnjeg tlaka
HRN M.E2.259	Ravne podnice i ukrućene ploče
DIN EN 24032	Šesterostранe matice
DIN 6902	Podložne pločice za vijke
DIN 127A	Elastični prstenovi za vijke
ISO 4014	Vijci sa šesterostranom glavom
DIN EN 910	Čep s šesterostranom glavom
DIN EN 7603	Bakrene brtve za vijke

Dokumentacija sadrži:

- toplinski proračun aparata
- proračun čvrstoće osnovnih dijelova aparata
- hidraulički proračun aparata
- određivanje kategorije posude pod tlakom
- tehnički opis aparata
- montažni nacrt aparata s detaljima konstrukcije

## 7. ZAKLJUČAK

Za proračun koeficijenta prijelaza topline i pada tlaka može se koristiti više metoda tj. formula. Svaka metoda daje drugačiji rezultat, s manjim ili većim odstupanjem u usporedbi s drugima. Zbog kompleksne prirode samog uređaja, ne može se napraviti apsolutno točan matematički model.

Da li su metode korištene u ovom radu najbolje od ponuđenih iz literature, teško je reći jer je bi najbolja za ovaj slučaj bila ona čiji su rezultati najbliži stvarnim vrijednostima.

Zato je ovakve uređaje nakon konstrukcije potrebno ispitati u laboratoriju da bi se vidjelo u kojoj mjeri stvarne vrijednosti prate proračunske.

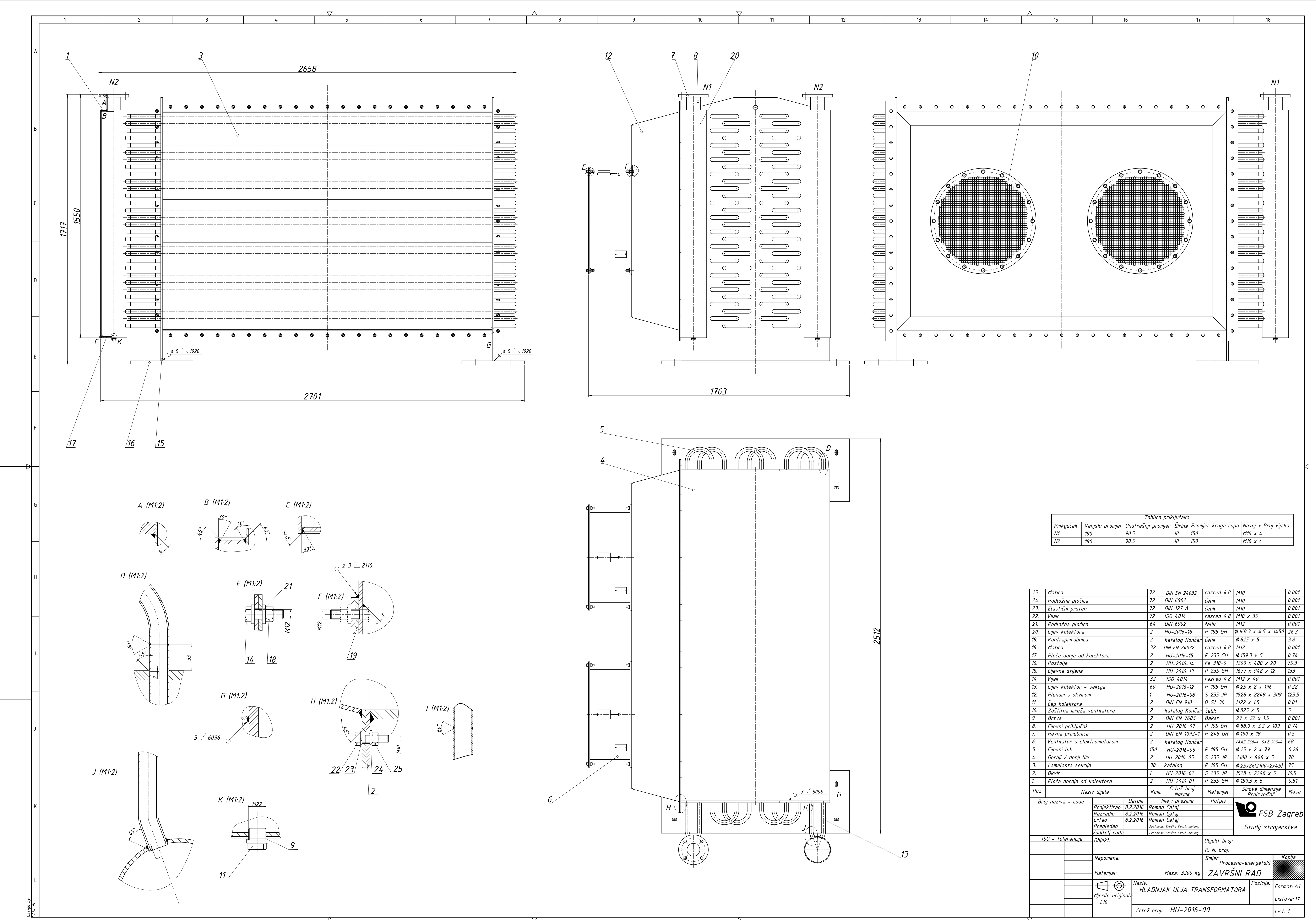
Odnosno, ovaj hladnjak transformatorskog ulja je samo jedno od mogućih rješenja postavljenog zadatka. Koliko je proračun na kojem počiva aparat blizak stvarnosti, može se vidjeti samo laboratorijskim ispitivanjem gotovog uređaja.

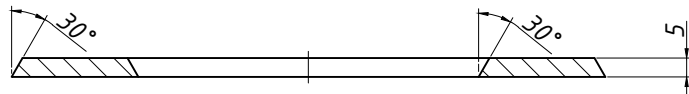
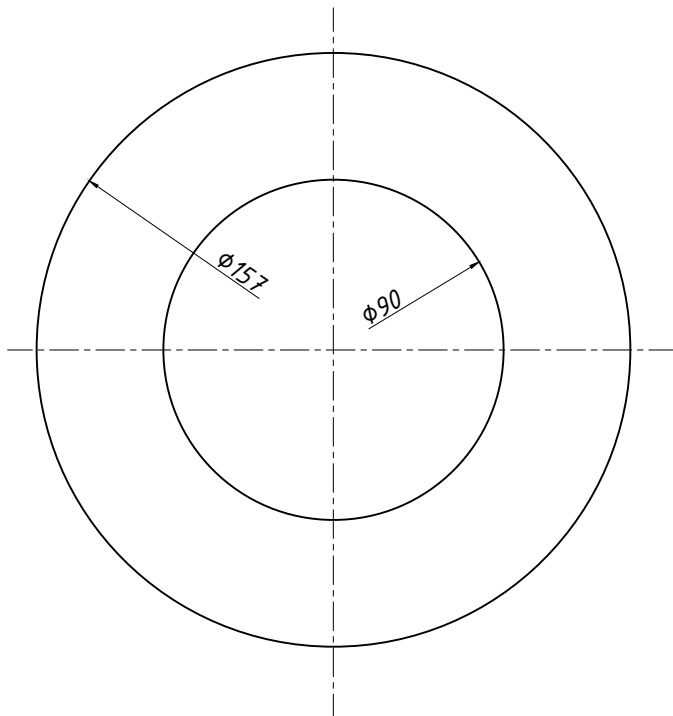
## LITERATURA

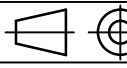
- [1] Transformatori, [www.fer.unizg.hr/\\_download/repository/EEPE\\_10\\_TR1.pdf](http://www.fer.unizg.hr/_download/repository/EEPE_10_TR1.pdf), 20.2.2016.
- [2] Toplinske tablice, FSB, 1994
- [3] VDI Warmealas, Springer 1974
- [4] Slipčević, B.: Razmjenjivači topline, SMEITS, Beograd, 1989
- [5] Kraut, B.: Strojarski priručnik, Sajema Zagreb, 2009.
- [6] Švaić, S.: Pad tlaka na orebrenom snopu, FSB 1977
- [7] Katalog ventilatora tvrtke Končar, 2016
- [8] Švaić, S.: Aparati i posude pod tlakom, podloge za predavanja i vježbe, 2015
- [9] Decker, K.H.: Elementi strojeva, Tehnička knjiga Zagreb, 1987
- [10] VDI Warmealas, Springer 1988

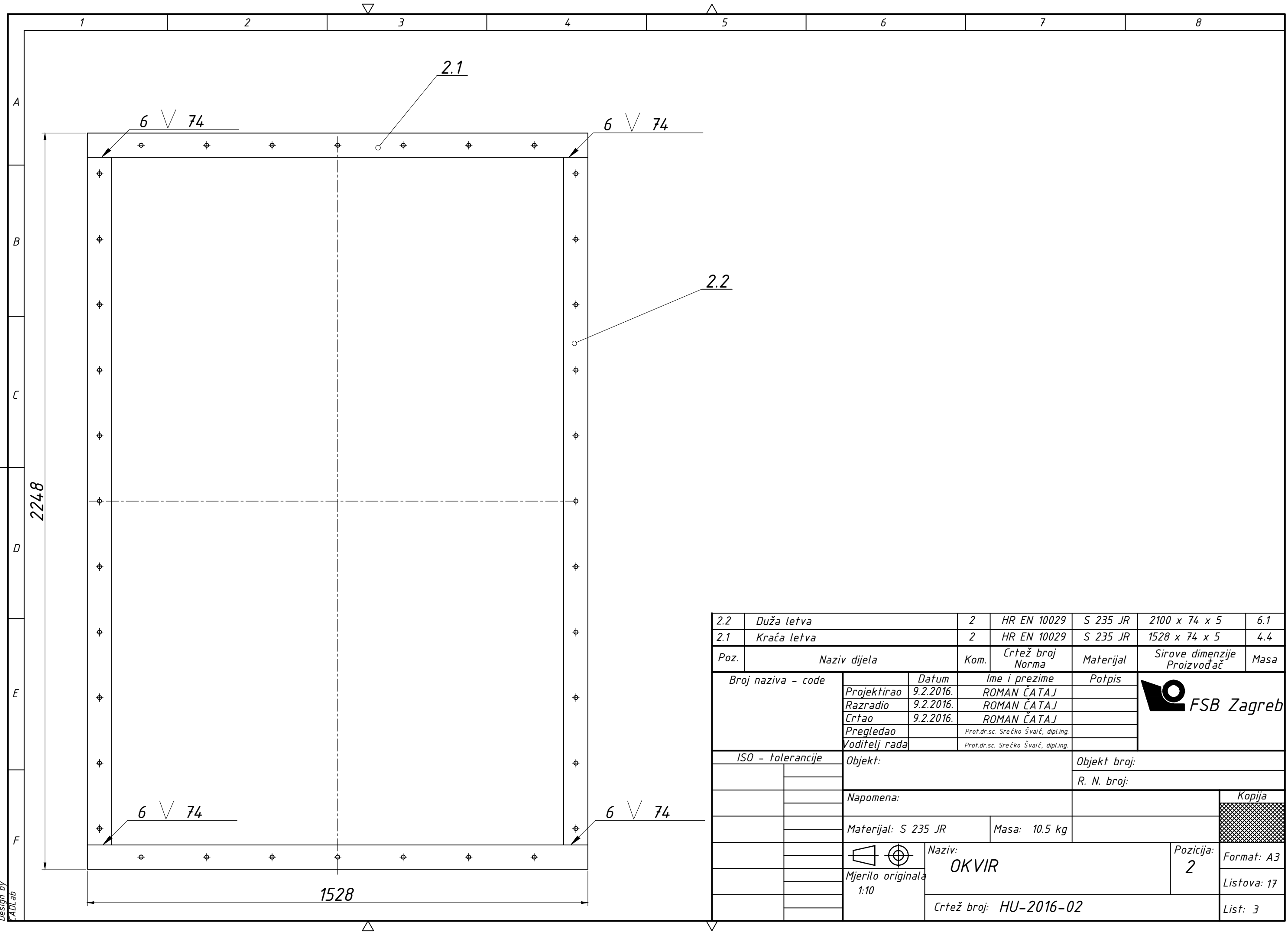
## **PRILOZI**

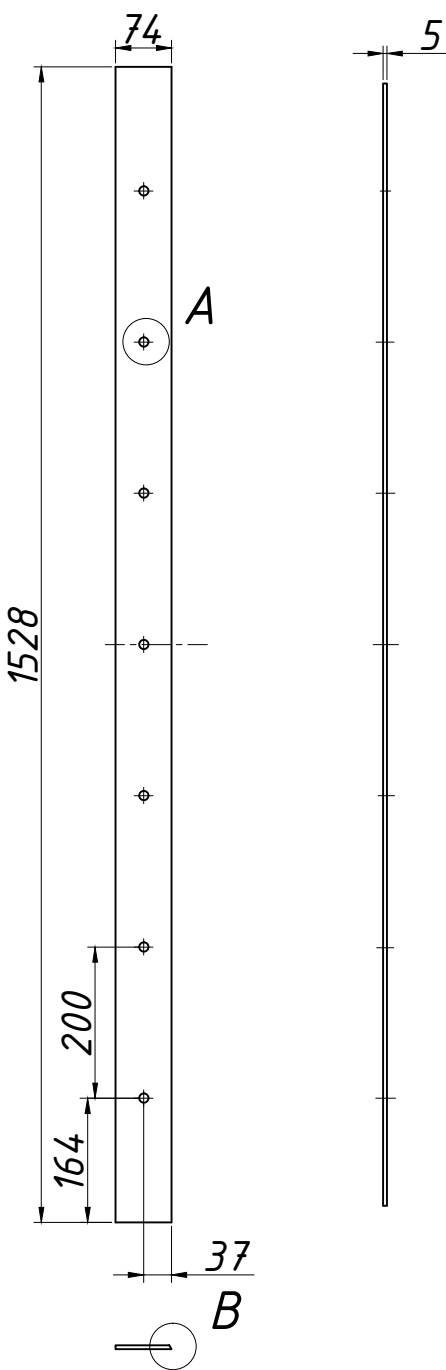
- I. CD-R disc
- II. Tehnička dokumentacija



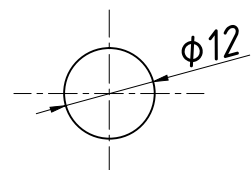


	Datum	Ime i prezime	Potpis	 FSB Zagreb
Projektirao	9.2.2016.	ROMAN ČATAJ		
Razradio	9.2.2016.	ROMAN ČATAJ		
Crtao	9.2.2016.	ROMAN ČATAJ		
Pregledao		Prof.dr.sc. Srećko Švaič, dipl.ing.		
Voditelj rada		Prof.dr.sc. Srećko Švaič, dipl.ing.		
Objekt:	Objekt broj:			
	R. N. broj:			
Napomena:				Kopija
Materijal: P 235 GH	Masa: 0.51 kg			
 Mjerilo originala 1:2	Naziv:  PLOČA GORNJA OD KOLEKTORA	Pozicija:  1	Format: A4	
				Listova: 17
	Crtež broj: HU-2016-01			List: 2

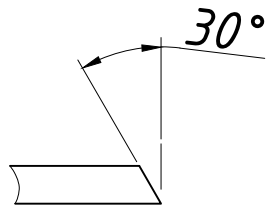


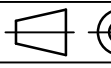


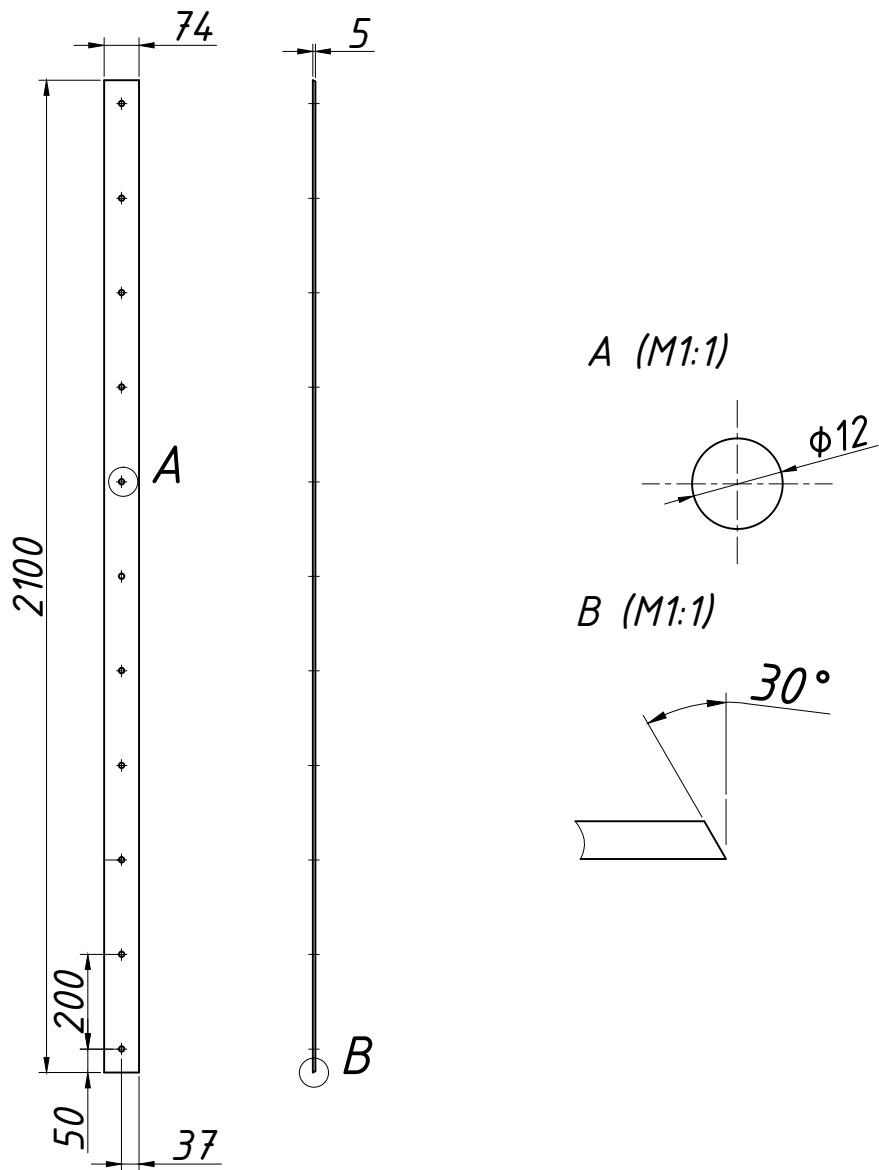
A (M1:1)



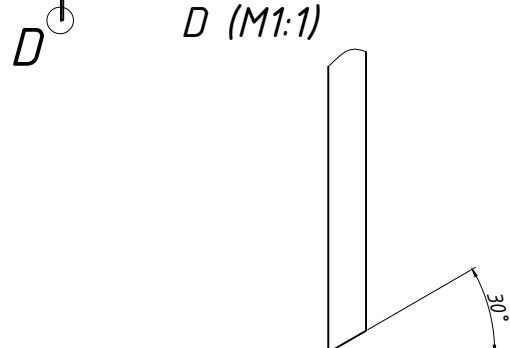
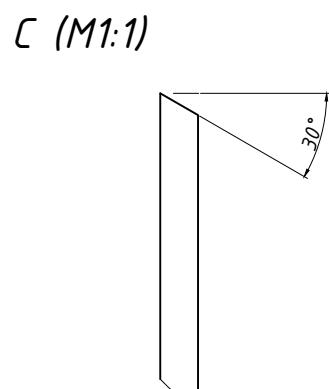
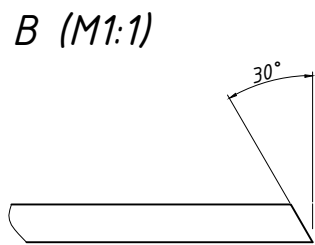
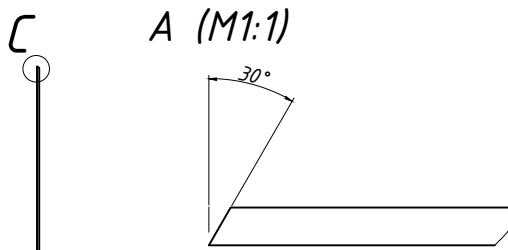
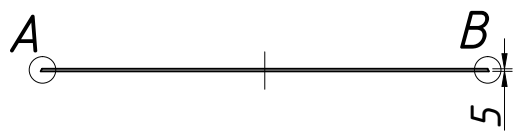
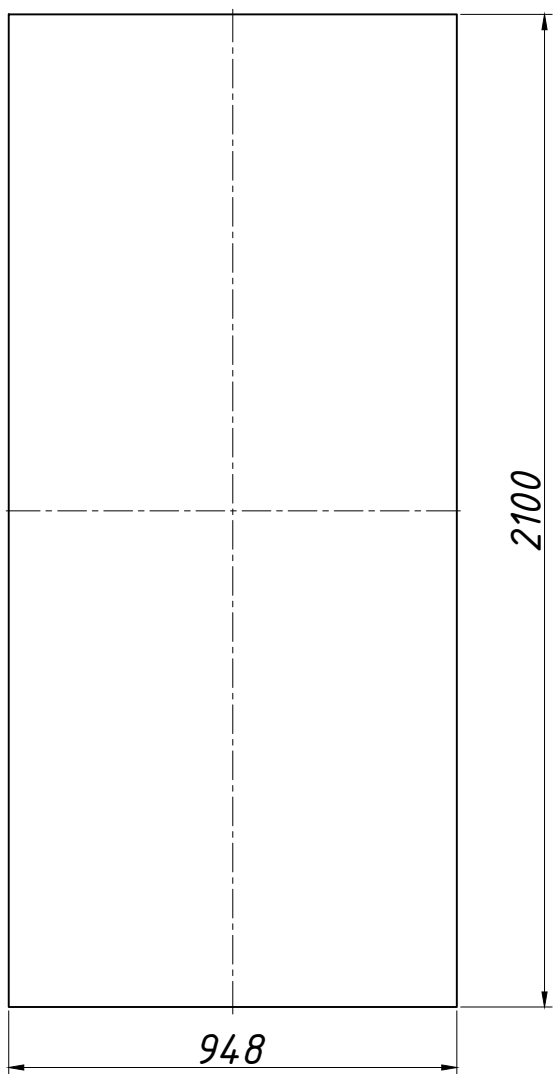
B (M1:1)

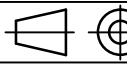


	Datum	Ime i prezime	Potpis	 FSB Zagreb
Projektirao	9.2.2016.	ROMAN ĆATAJ		
Razradio	9.2.2016.	ROMAN ĆATAJ		
Črtao	9.2.2016.	ROMAN ĆATAJ		
Pregledao		Prof.dr.sc. Srećko Švaič, dipl.ing.		
Voditelj rada		Prof.dr.sc. Srećko Švaič, dipl.ing.		
Objekt:			Objekt broj:	
			R. N. broj:	
Napomena:				Kopija
Materijal: S 235 JR	Masa: 4.4 kg			
 Mjerilo originala 1:10	Naziv: KRAĆA LETVA		Pozicija: 2.1	Format: A4
				Listova: 17
	Crtež broj: HU-2016-03			List: 4



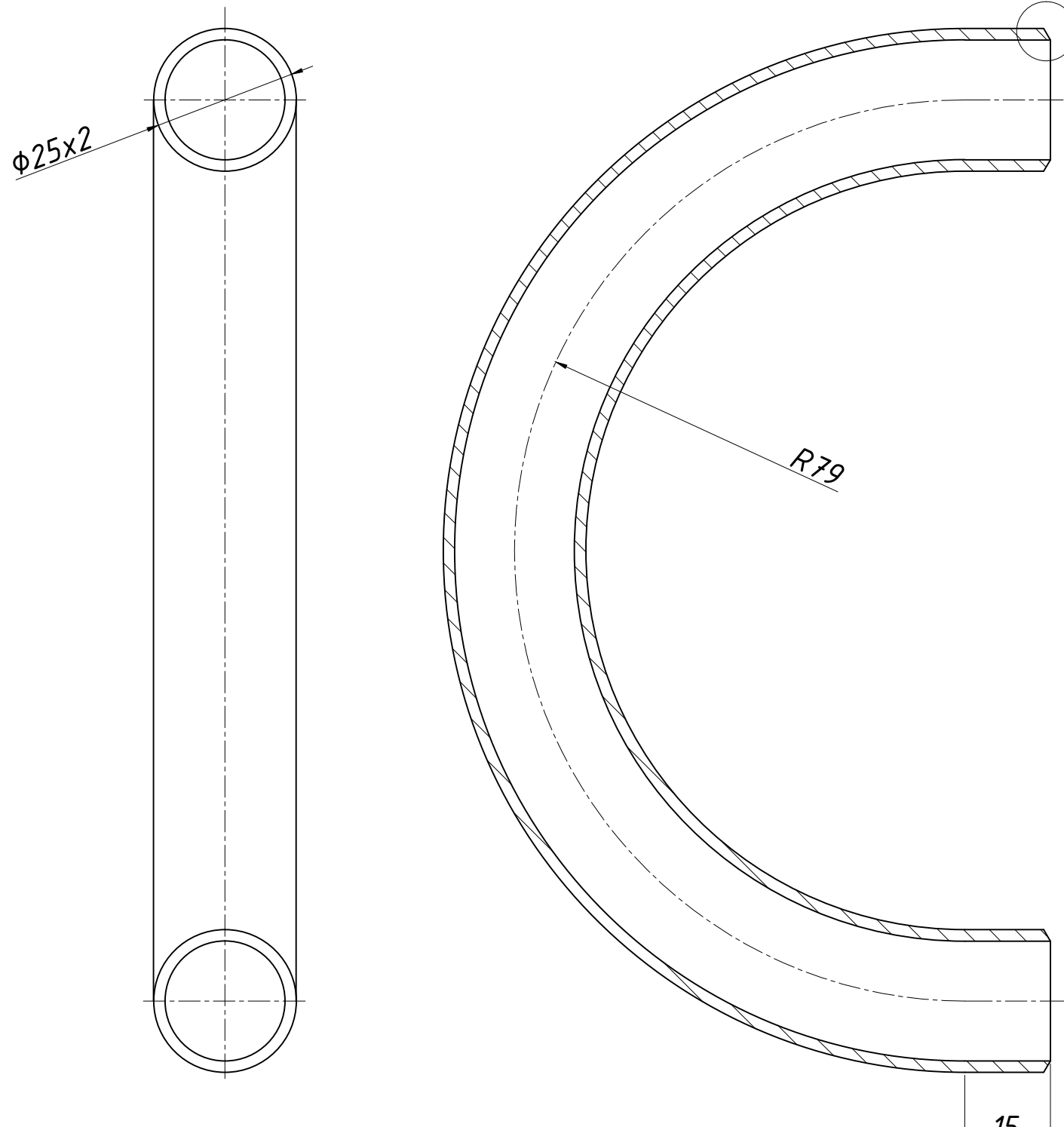
Datum	Ime i prezime	Potpis	 FSB Zagreb
Projektirao	9.2.2016.	ROMAN ČATAJ	
Razradio	9.2.2016.	ROMAN ČATAJ	
Črtao	9.2.2016.	ROMAN ČATAJ	
Pregledao		Prof.dr.sc. Srećko Švaić, dipl.ing.	
Voditelj rada		Prof.dr.sc. Srećko Švaić, dipl.ing.	
Objekt:	Objekt broj:		
		R. N. broj:	
Napomena:			Kopija
Materijal: S 235 JR	Masa: 6.1 kg		
Mjerilo originala 1:16	Naziv: DUŽA LETVA	Pozicija: 2.2	Format: A4
			Listova: 17
	Crtež broj: HU-2016-04		List: 5



	Datum	Ime i prezime	Potpis	 FSB Zagreb
Projektirao	9.2.2016.	ROMAN ĆATAJ		
Razradio	9.2.2016.	ROMAN ĆATAJ		
Crtao	9.2.2016.	ROMAN ĆATAJ		
Pregledao		Prof.dr.sc. Srećko Švaić, dipl.ing.		
Voditelj rada		Prof.dr.sc. Srećko Švaić, dipl.ing.		
Objekt:			Objekt broj:	
Napomena:			R. N. broj:	
Materijal: S 235 JR	Masa: 78 kg			Kopija
 Mjerilo originala 1:16	Naziv: <b>GORNJI / DONJI LIM</b>	Pozicija: 4	Format: A4	
				Listova: 17
		Crtanje broj: HU-2016-05		List: 6

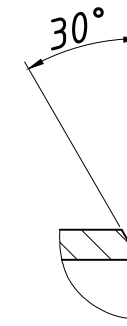
1 2 3 4 5 6 7 8

A

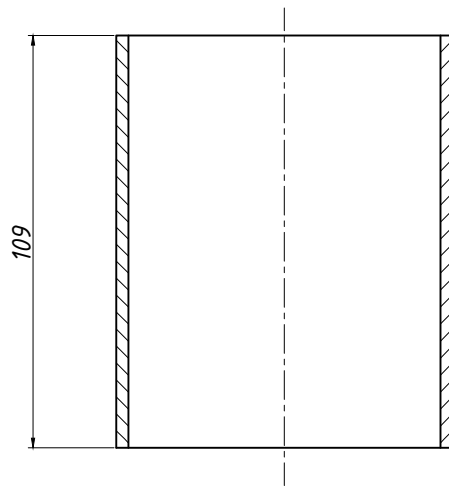
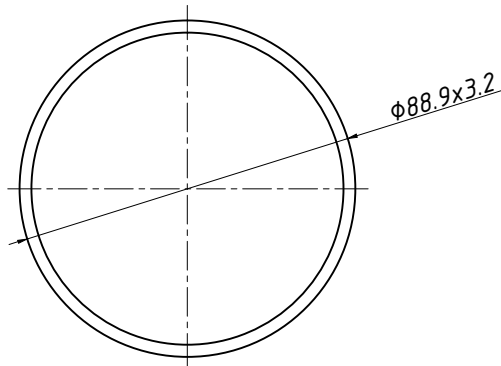


A

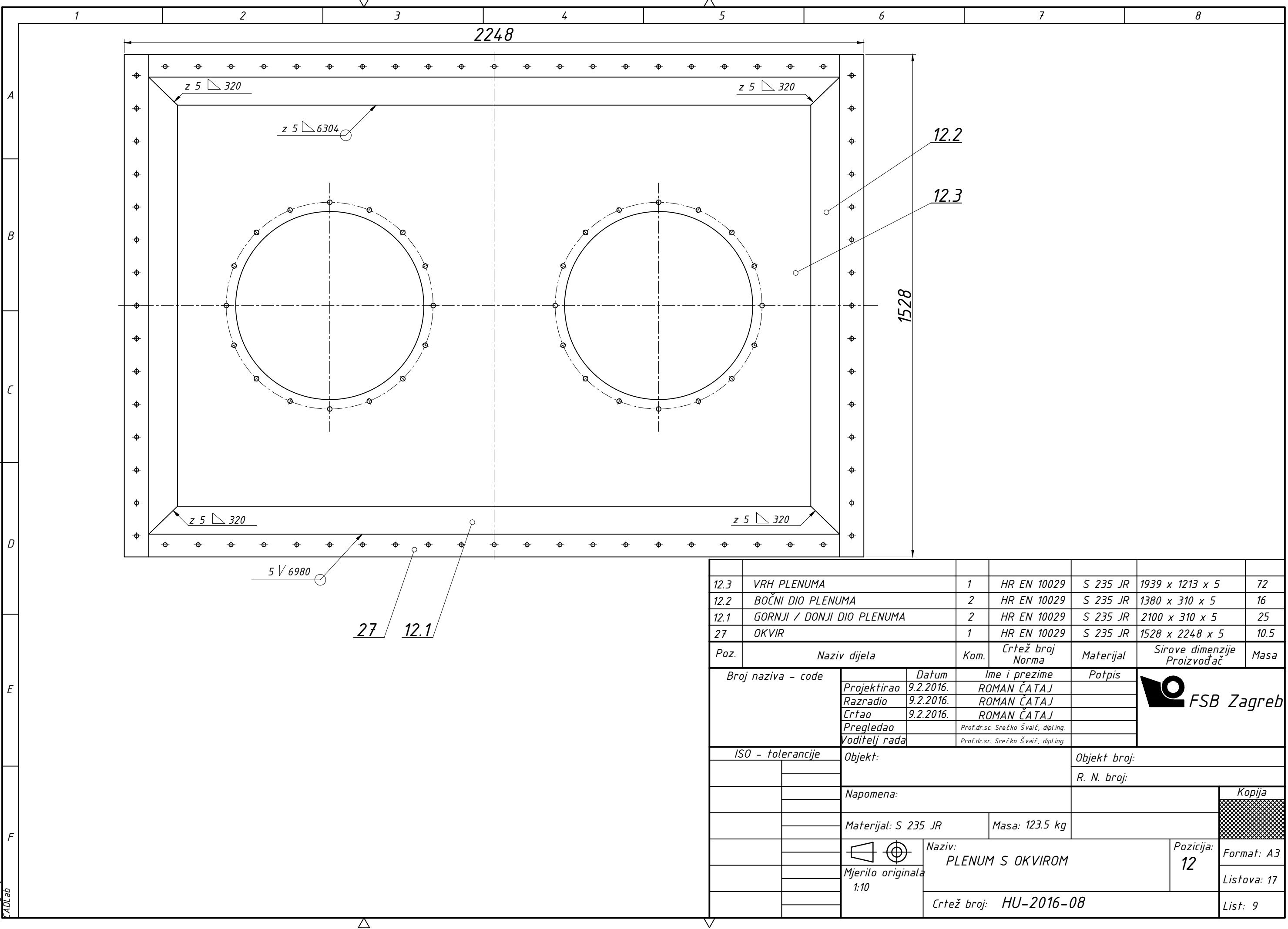
A (M2:1)

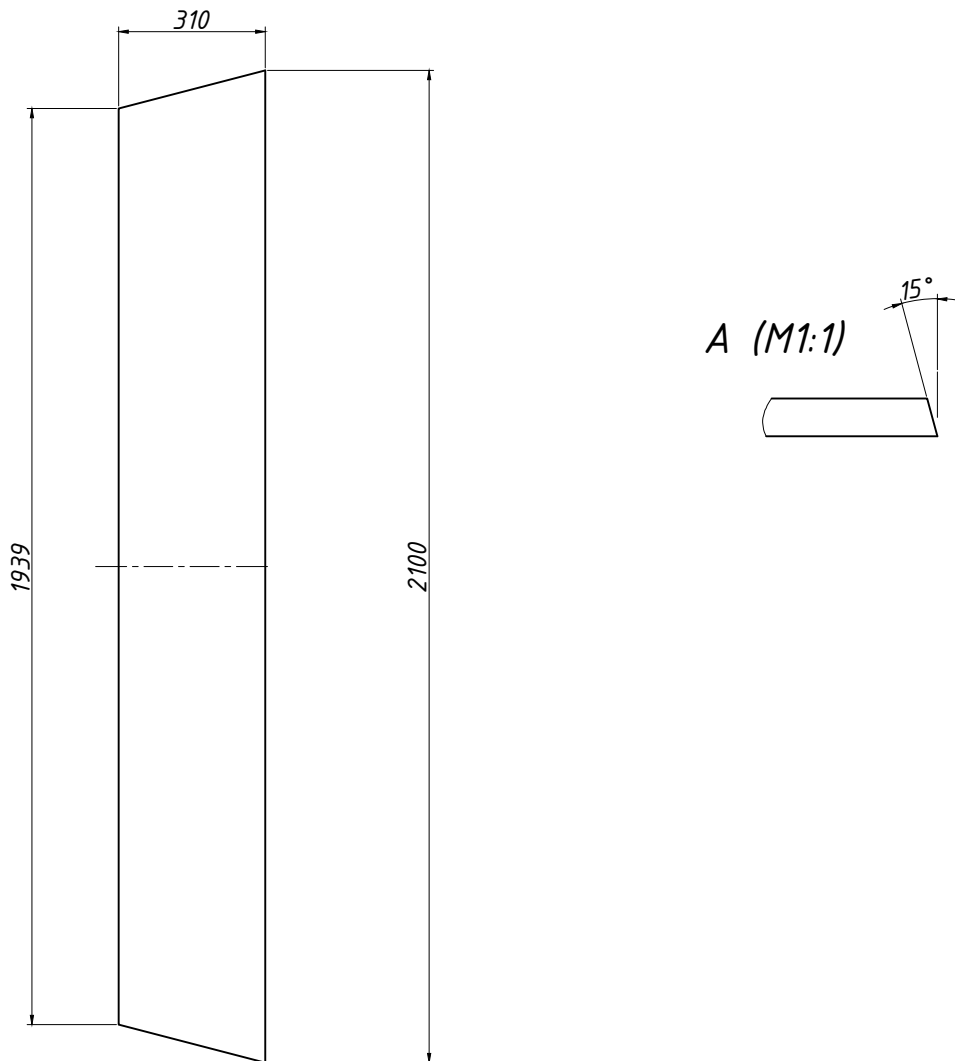


	Datum	Ime i prezime	Potpis	FSB Zagreb
Projektirao	9.2.2016.	ROMAN ĆATAJ		
Razradio	9.2.2016.	ROMAN ĆATAJ		
Crtao	9.2.2016.	ROMAN ĆATAJ		
Pregledao		Prof.dr.sc. Srećko Švaić, dipl.ing.		
Voditelj rada		Prof.dr.sc. Srećko Švaić, dipl.ing.		
Objekt:			Objekt broj:	
			R. N. broj:	
Napomena:				Kopija
Materijal:	P 195 GH	Masa:	0.28 kg	
	Mjerilo originala 1:1	Naziv: CIJEVNI LUK	Pozicija: 5	Format: A3
				Listova: 17
		Crtanje broj:	HU-2016-06	List: 7



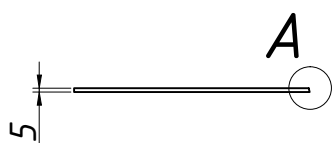
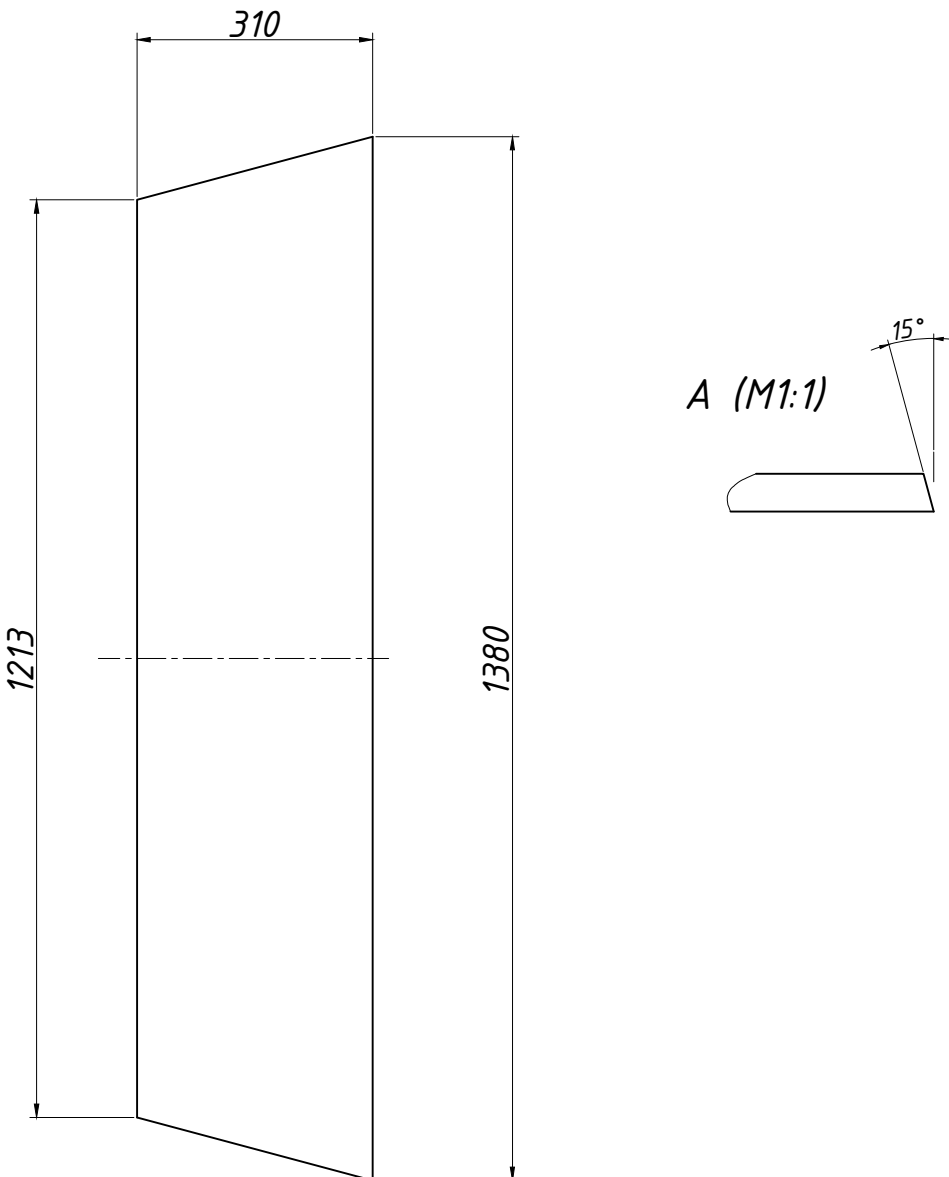
	Datum	Ime i prezime	Potpis	 FSB Zagreb
Projektirao	9.2.2016.	ROMAN ĆATAJ		
Razradio	9.2.2016.	ROMAN ĆATAJ		
Črtao	9.2.2016.	ROMAN ĆATAJ		
Pregledao		Prof.dr.sc. Srećko Švaić, dipl.ing.		
Voditelj rada		Prof.dr.sc. Srećko Švaić, dipl.ing.		
Objekt:			Objekt broj:	
			R. N. broj:	
Napomena:				Kopija
Materijal: P 195 GH	Masa: 0.74 kg			
Mjerilo originala 1:2	Naziv: <b>CIJEVNI PRIKLJUČAK</b>	Pozicija: <b>8</b>	Format: A4	
				Listova: 17
	Crtež broj: HU-2016-07			List: 8

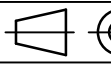


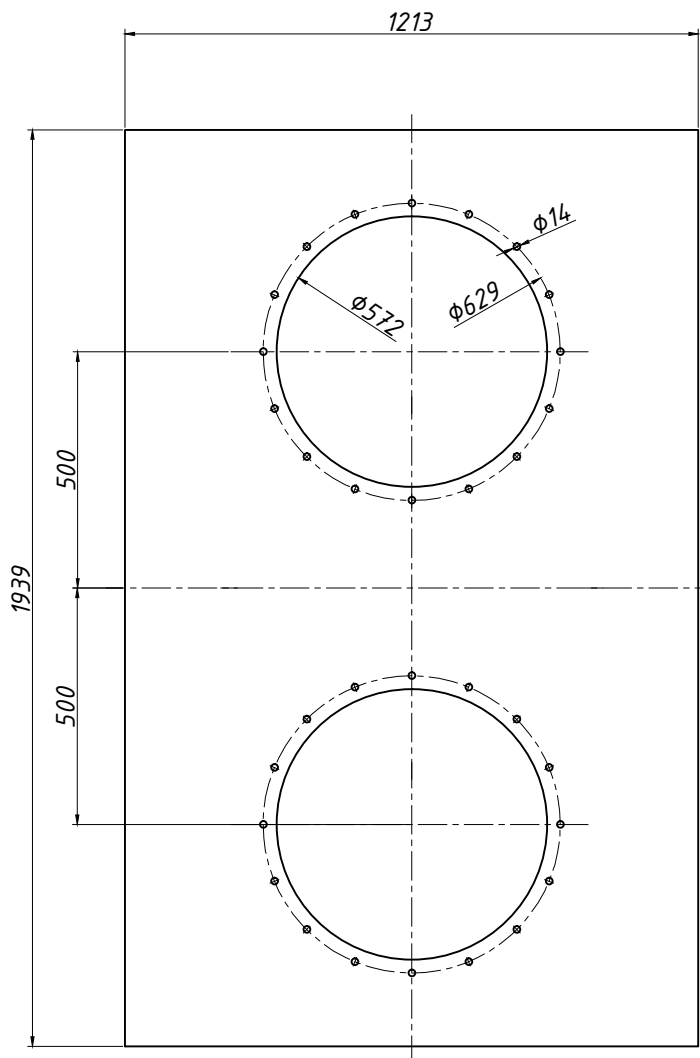


A  
5

	Datum	Ime i prezime	Potpis	 FSB Zagreb
Projektirao	9.2.2016.	ROMAN ČATAJ		
Razradio	9.2.2016.	ROMAN ČATAJ		
Črtao	9.2.2016.	ROMAN ČATAJ		
Pregledao		Prof.dr.sc. Srećko Švaić, dipl.ing.		
Voditelj rada		Prof.dr.sc. Srećko Švaić, dipl.ing.		
Objekt:			Objekt broj:	
Napomena:			R. N. broj:	
Materijal:	S 235 JR	Masa: 25 kg		Kopija
Mjerilo originala 1:16	Naziv: <b>GORNJI / DONJI DIO PLENUMA</b>		Pozicija: <b>12.1</b>	Format: A4
	Crtež broj: <b>HU-2016-09</b>			Listova: 17
				List: 10



	Datum	Ime i prezime	Potpis	 FSB Zagreb
Projektirao	9.2.2016.	ROMAN ČATAJ		
Razradio	9.2.2016.	ROMAN ČATAJ		
Črtao	9.2.2016.	ROMAN ČATAJ		
Pregledao		Prof.dr.sc. Srećko Švaić, dipl.ing.		
Voditelj rada		Prof.dr.sc. Srećko Švaić, dipl.ing.		
Objekt:	Objekt broj:			
	R. N. broj:			
Napomena:				Kopija
Materijal: S 235 JR	Masa: 16 kg			
 Mjerilo originala 1:10	Naziv: <b>BOČNI DIO PLENUMA</b>	Pozicija: <b>12.2</b>	Format: A4	
			Listova: 17	
	Crtež broj: <b>HU-2016-10</b>			List: 11



5

	Datum	Ime i prezime	Potpis	 FSB Zagreb
Projektirao	9.2.2016.	ROMAN ČATAJ		
Razradio	9.2.2016.	ROMAN ČATAJ		
Črtao	9.2.2016.	ROMAN ČATAJ		
Pregledao		Prof.dr.sc. Srećko Švaič, dipl.ing.		
Voditelj rada		Prof.dr.sc. Srećko Švaič, dipl.ing.		
Objekt:			Objekt broj:	
			R. N. broj:	
Napomena:				Kopija
Materijal:	S 235 JR	Masa:	72 kg	
Mjerilo originala 1:16	Naziv: <b>VRH PLENUMA</b>		Pozicija: <b>12.3</b>	Format: A4
	Crtež broj: <b>HU-2016-11</b>			Listova: 17
				List: 12

1 2 3 4 5 6 7 8

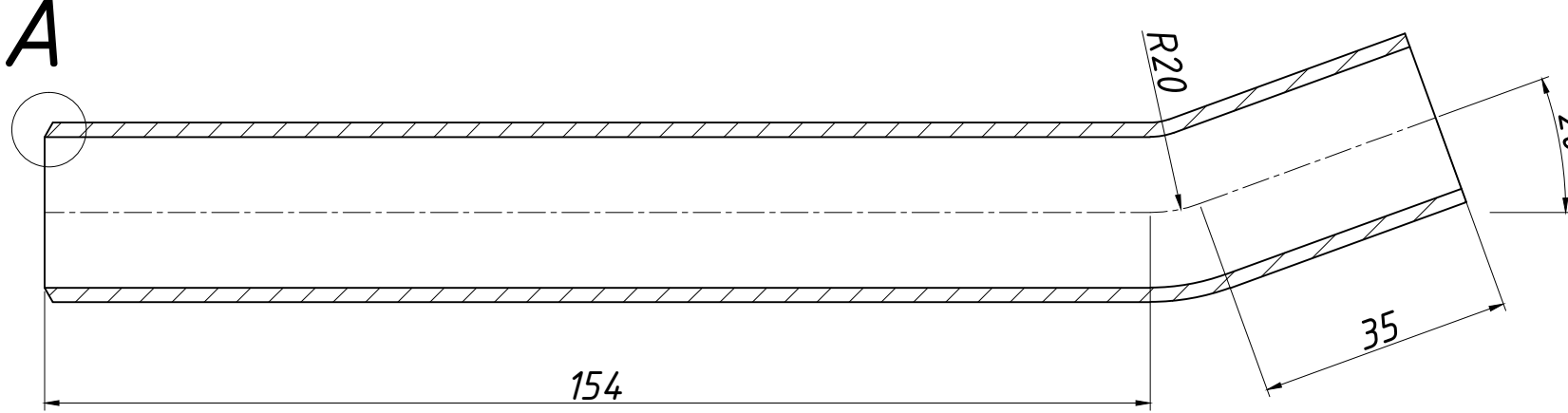
A

A (M2:1)

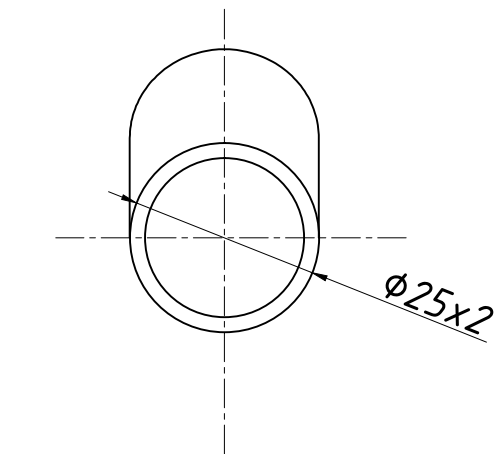


B

A



C



D

E

	Datum	Ime i prezime	Potpis
Projektirao	9.2.2016.	ROMAN ĆATAJ	
Razradio	9.2.2016.	ROMAN ĆATAJ	
Crtao	9.2.2016.	ROMAN ĆATAJ	
Pregledao		Prof.dr.sc. Srećko Švaić, dipl.ing.	
Voditelj rada		Prof.dr.sc. Srećko Švaić, dipl.ing.	

Objekt:  Objekt broj:   
R. N. broj:

Napomena:  Kopija

Materijal: P 195 GH Masa: 0.22 kg

Mjerilo originala Naziv: CIJEV KOLEKTOR-SEKCIJA Pozicija: Format: A3  
1:1  13 Listova: 17

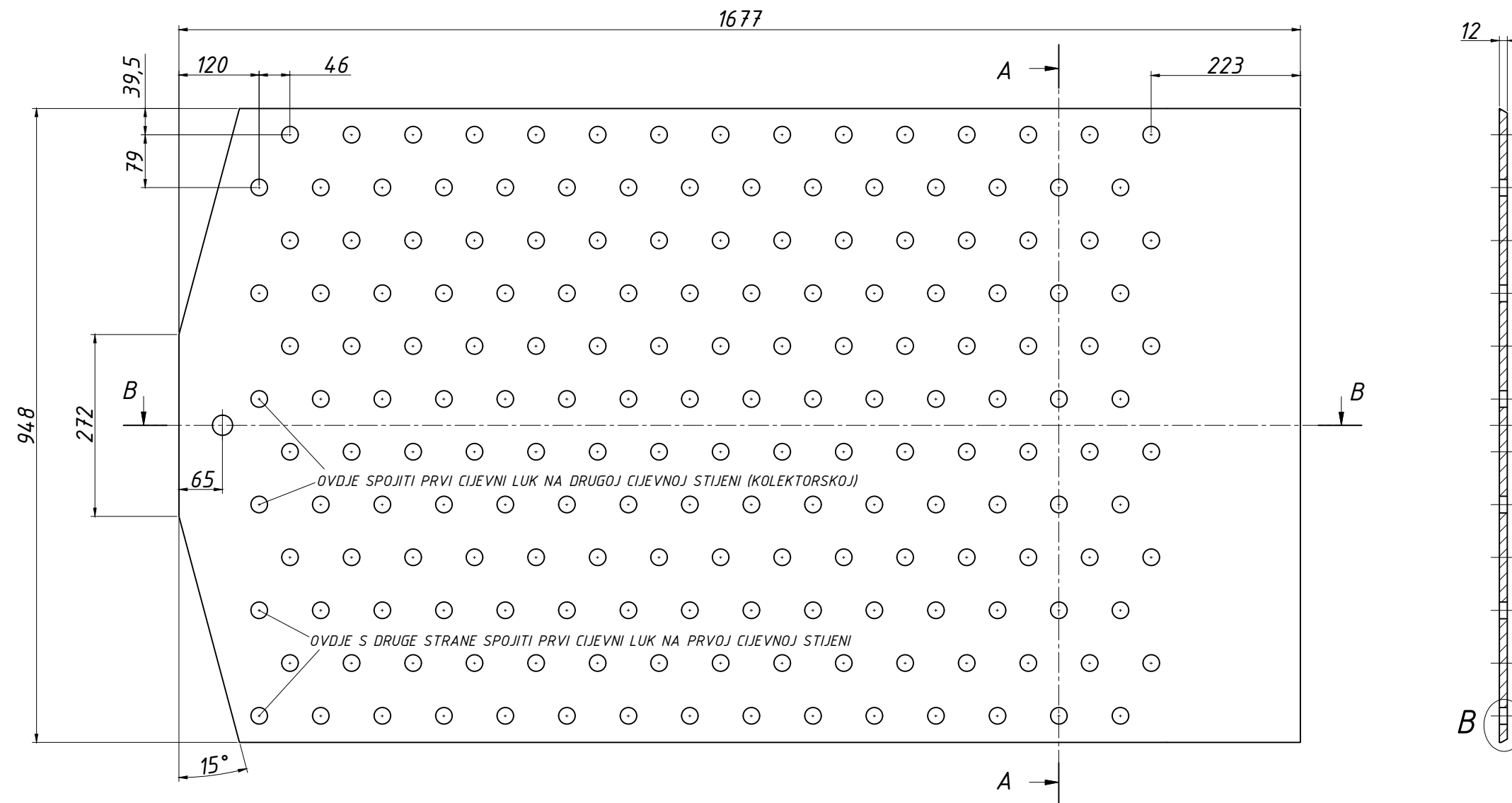
Crtež broj: HU-2016-12 List: 13

Design by  
CADlab

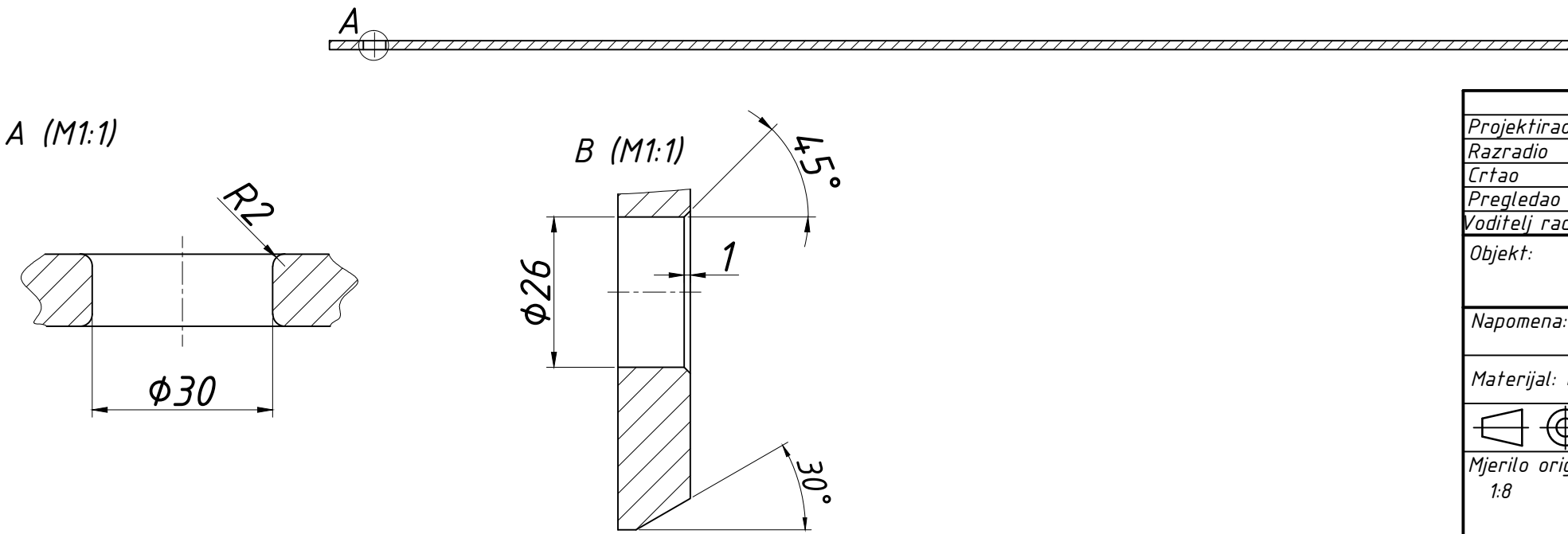
0 10 20 30 40 50 60 70 80 90 100

1 2 3 4 5 6 7 8

### PRESJEK A-A

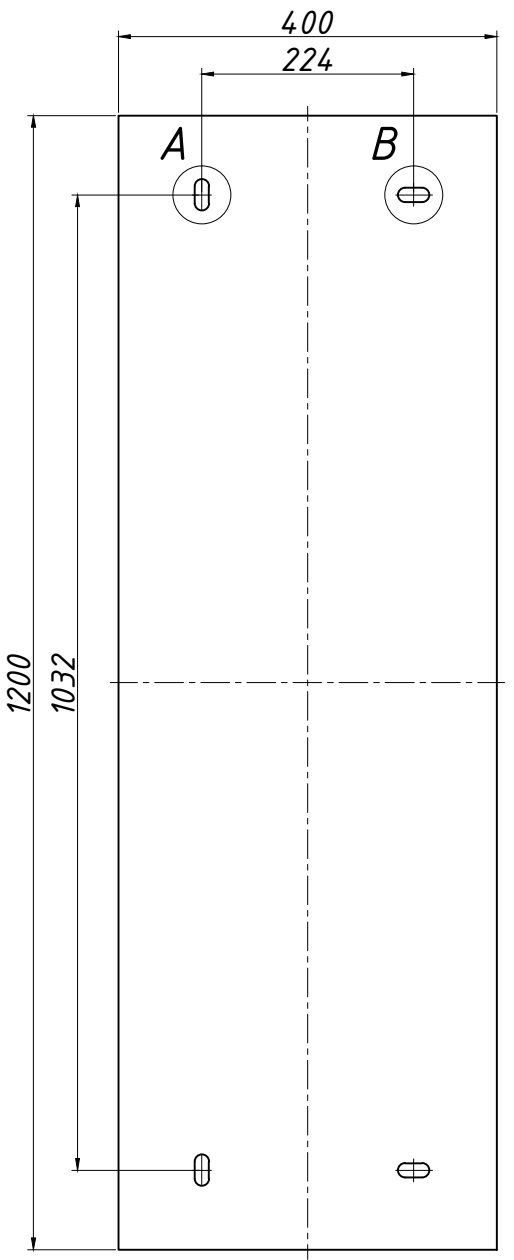


### PRESJEK B-B

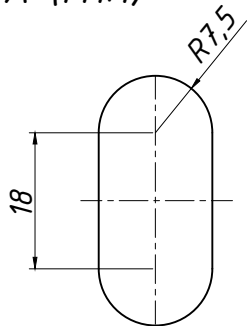


	Datum	Ime i prezime	Potpis
Projektirao	9.2.2016.	ROMAN ĆATAJ	
Razradio	9.2.2016.	ROMAN ĆATAJ	
Crtao	9.2.2016.	ROMAN ĆATAJ	
Pregledao		Prof.dr.sc. Srećko Švaić, dipl.ing.	
Voditelj rada		Prof.dr.sc. Srećko Švaić, dipl.ing.	
Objekt:		Objekt broj:	
		R. N. broj:	
Napomena:			Kopija
Materijal: P 235 GH	Masa: 133 kg		
Mjerilo originala 1:8	Naziv: <b>CIJEVNA STIJENA</b>	Pozicija: Format: A3 15	
			Listova: 17
			List: 14

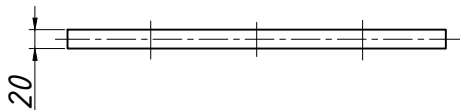
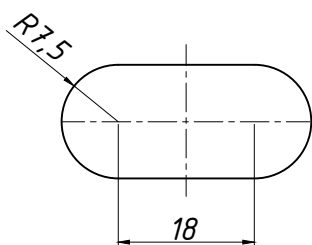




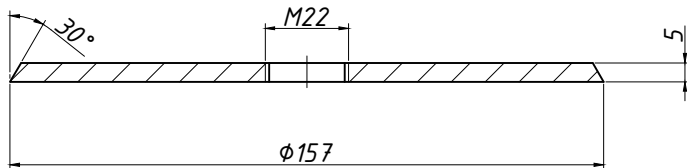
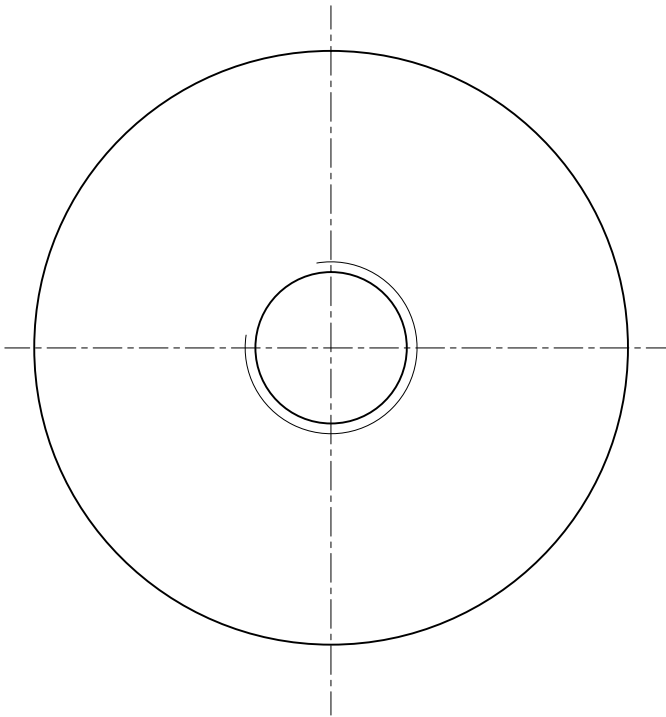
A (M1:1)

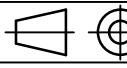


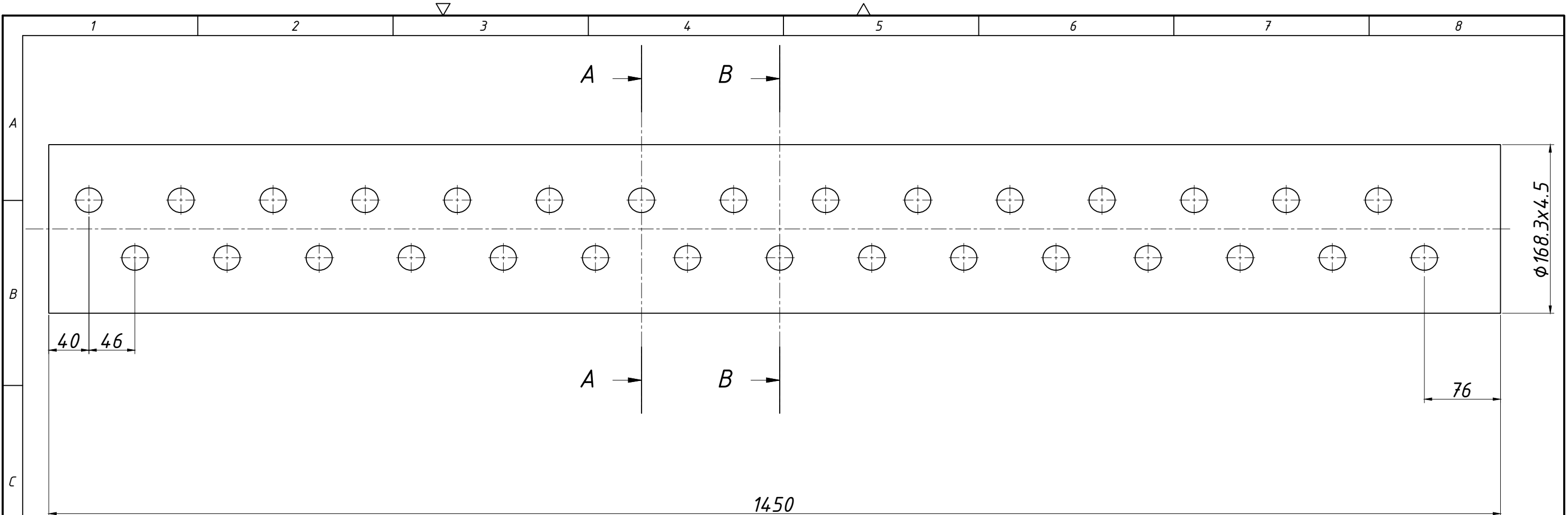
B (M1:1)



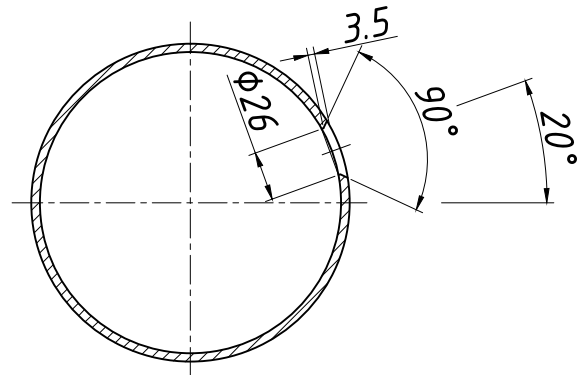
	Datum	Ime i prezime	Potpis	 FSB Zagreb
Projektirao	9.2.2016.	ROMAN ČATAJ		
Razradio	9.2.2016.	ROMAN ČATAJ		
Črtao	9.2.2016.	ROMAN ČATAJ		
Pregledao		Prof.dr.sc. Srećko Švaić, dipl.ing.		
Voditelj rada		Prof.dr.sc. Srećko Švaić, dipl.ing.		
Objekt:			Objekt broj:	
Napomena:			R. N. broj:	
Materijal:	Fe 310-0	Masa: 75.3 kg		Kopija
Mjerilo originala 1:8		Naziv: <b>POSTOLJE</b>	Pozicija: 16	Format: A4
				Listova: 17
		Crtež broj: HU-2016-14		List: 15



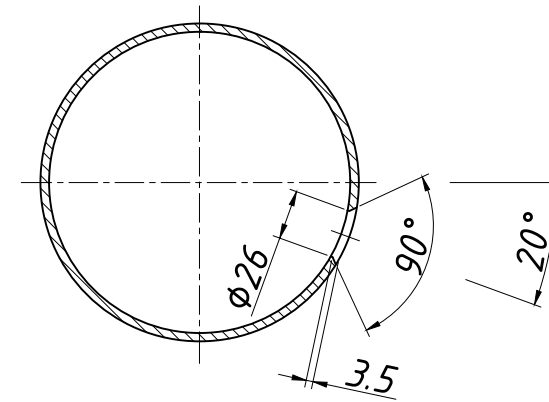
	Datum	Ime i prezime	Potpis	 <b>FSB Zagreb</b>
Projektirao	9.2.2016.	ROMAN ČATAJ		
Razradio	9.2.2016.	ROMAN ČATAJ		
Crtao	9.2.2016.	ROMAN ČATAJ		
Pregledao		Prof.dr.sc. Srećko Švaić, dipl.ing.		
Voditelj rada		Prof.dr.sc. Srećko Švaić, dipl.ing.		
Objekt:			Objekt broj:	
			R. N. broj:	
Napomena:				Kopija
Materijal: P 235 GH	Masa: 0.74 kg			
 Mjerilo originala 1:2	Naziv: <b>PLOČA DONJA OD KOLEKTORA</b>		Pozicija: <b>17</b>	Format: A4 Listova: 17
	Crtež broj: <b>HU-2016-15</b>			List: 16



PRESJEK A-A



PRESJEK B-B



	Datum	Ime i prezime	Potpis
Projektirao	9.2.2016.	ROMAN ĆATAJ	
Razradio	9.2.2016.	ROMAN ĆATAJ	
Crtao	9.2.2016.	ROMAN ĆATAJ	
Pregledao		Prof.dr.sc. Srećko Švaić, dipl.ing.	
Voditelj rada		Prof.dr.sc. Srećko Švaić, dipl.ing.	

**Objekt:** *Objekt broj:*  
*R. N. broj:*

**Napomena:**

Materijal: P 195 GH	Masa: 26.3 kg	Kopija
---------------------	---------------	--------

**Mjerilo originala:** Naziv: *Cijeve kolektora* Pozicija: *Format: A3*  
*1:4*

**Crtanje broj:** *HU-2016-16* Listova: *20*  
List: *17*

